



รายงานการวิจัย

การเขียนโปรแกรมคอมพิวเตอร์เพื่อหาฟังก์ชันการถ่ายโอนของวัสดุโดย

ใช้คุณสมบัติความยืดหยุ่นหนึดเชิงเส้น

(Computer Programming of Transfer Function of Linear
Viscoelasticity Property)

"ได้รับทุนอุดหนุนการวิจัยจาก
มหาวิทยาลัยเทคโนโลยีชุรุนวิ"

ผลงานวิจัยเป็นความรับผิดชอบของหัวหน้าโครงการวิจัยแต่เป็นส่วนเดียว

รหัสโครงการ SUT7-707-48-12-71



รายงานการวิจัย

การเขียนโปรแกรมคอมพิวเตอร์เพื่อหาฟังก์ชันการถ่ายโอนของวัสดุโดย ใช้คุณสมบัติความยืดหยุ่นหนึ่งเดียว (Computer Programming of Transfer Function of Linear Viscoelasticity Property)

คณะผู้วิจัย

หัวหน้าโครงการ
จิระพล ศรีเสริฐผล
สาขาวิชาวิศวกรรมเครื่องกล
สำนักวิชาวิศวกรรมศาสตร์
มหาวิทยาลัยเทคโนโลยีสุรนารี

ผู้ร่วมวิจัย

Assoc.Prof. Dr. Nickolay P. Moskin
นายอัมฤทธิ์ รอดพาย

ได้รับทุนอุดหนุนการวิจัยจากมหาวิทยาลัยเทคโนโลยีสุรนารี ปีงบประมาณ พ.ศ. 2548
ผลงานวิจัยเป็นความรับผิดชอบของหัวหน้าโครงการวิจัยแต่เพียงผู้เดียว

พฤษภาคม 2551

กิตติกรรมประกาศ

ขอขอบคุณมหาวิทยาลัยเทคโนโลยีสุรนารีที่ได้ให้การสนับสนุนทุนวิจัยสำหรับโครงการนี้
คณาจารย์ในสาขาวิศวกรรมเครื่องกล สำนักวิชาวิศวกรรมศาสตร์ และ ครอบครัวที่เคยให้
กำเนิดและกำลังใจในการทำงานวิจัย

บทคัดย่อ

การศึกษาและวิเคราะห์เกี่ยวกับแบบจำลองคณิตศาสตร์ของวัสดุยืดหยุ่นหนึดเชิงเส้น เป็นการตรวจสอบความสัมพันธ์ระหว่างอินพุท(ความเค้น หรือ ความเครียด) ที่กระทำต่อวัสดุยืดหยุ่นหนึดเชิงเส้น กับ เอาพุท (ความเครียด หรือ ความเห็น) ที่เกิดขึ้นจากการตอบสนองของวัสดุ ซึ่งโดยทั่วไปแบบจำลองที่ใช้กับวัสดุที่มีคุณสมบัติยืดหยุ่นหนึดเชิงเส้น ได้แก่ แบบจำลองของแมกซ์เวลล์ (Maxwell model) แบบจำลองเคลวิน-โวค(Kelvin-Voigt model) และแบบจำลองเชิงเส้นพื้นฐาน(Standard Linear model) ซึ่งไม่สามารถอธิบายคุณสมบัติของวัสดุยืดหยุ่นหนึดเชิงเส้นได้ถูกต้อง อาทิเช่น แบบจำลองแมกซ์เวลล์จะไม่มีคุณสมบัติของการคืนรูป(Recovery) แบบจำลองเคลวิน-โวคจะไม่มีคุณสมบัติการการพักความเค้น(Stress Relaxation) และแบบจำลองเชิงเส้นพื้นฐานจะใช้อธิบายได้ดีสำหรับของแข็งที่สามารถดีนตัวได้ 100 % เท่านั้น ในงานวิจัยนี้ได้ศึกษาวิธีการหาแบบจำลองทางคณิตศาสตร์ของวัสดุยืดหยุ่นหนึดเชิงเส้นที่แสดงอยู่ในรูปของฟังก์ชันถ่ายโอน(Transfer function) ที่สามารถอธิบายคุณสมบัติของวัสดุยืดหยุ่นหนึดเชิงเส้น ได้ถูกต้อง ซึ่งถ้าหากจะดึงกล่าวสามารถใช้หลักการทฤษฎีความคุมในการหาแบบจำลองทางคณิตศาสตร์ของวัสดุยืดหยุ่นหนึดเชิงเส้น โดยวิธีระบุเอกสารลักษณ์ โดยใช้ข้อมูลที่ได้จากการวัดคือ พลังงานสะสม(Storage modulus) $G'(\omega)$ พลังงานที่สูญเสีย(Loss modulus) $G''(\omega)$ และความถี่ (ω) ที่กระทำต่อวัสดุ ไปประเมินค่าสัมประสิทธิ์ของฟังก์ชันถ่ายโอนโดยใช้วิธีกำลังสองน้อยสุด และ วิธีกำลังสองน้อยสุด แบบถ่วงน้ำหนัก ด้วยความถี่และค่าความแปรปรวนของชุดข้อมูล

คำสำคัญ: กลศาสตร์ของวัสดุ, ทฤษฎีการควบคุม, วิธีระบุเอกสารลักษณ์ของระบบ

Abstract

The study and analysis of mathematical models of linear viscoelastic materials aims to investigate the relationship between input (stress or strain) on such materials and output (strain or stress) that occurs from the response of such materials. Generally, the mathematical models used for linear viscoelastic materials are the Maxwell model, the Kevin-Voigt model and the standard linear model. These models cannot accurately describe the properties of linear viscoelastic materials. For instance, the Maxwell model does not show the recovery behavior of materials, the Kevin-Voigt model does not demonstrate the stress relaxation and the standard linear model can be applied well only for solid materials that can be recovered 100%. This paper is aimed to identify the mathematical model of linear viscoelastic materials. The model can be expressed in terms of transfer function that can accurately describe the properties of linear viscoelastic materials. The control theory can be used to find out the mathematical model of linear viscoelastic materials using the system identification method for which the storage modulus $G'(\omega)$, loss modulus $G''(\omega)$ and input frequency (ω) obtained from the measurement are used. To determine the transfer function coefficients, the least square method, the weighting least square method with input frequency and the weighting least square method with variance are used.

Keywords: Mechanics of Materials, Control Theory, System Identification

สารบัญ

	หน้า
กิจกรรมประการ	ก
บทคัดย่อภาษาไทย	ข
บทคัดย่อภาษาอังกฤษ	ค
สารบัญ	ง
สารบัญตาราง	จ
สารบัญภาพ	ฉ
บทที่ 1 บทนำ	
1.1 ความสำคัญและที่มาของปัญหาการวิจัย	1
1.2 วัตถุประสงค์ของการวิจัย	2
1.3 ขอบเขตของการวิจัย	2
1.4 ประโยชน์ที่คาดว่าจะได้รับ	2
บทที่ 2 วิธีดำเนินการวิจัย	
2.1 ลักษณะทางคณิตศาสตร์	4
2.2 วิธีระเบียบเชิงตัวเลข	6
บทที่ 3 ผลการวิจัย	
3.1 การทดสอบโปรแกรมโดยชุดข้อมูลที่มีค่าความแปรปรวน	9
3.2 การใช้โปรแกรมสังเคราะห์หาฟังก์ชันถ่ายโอนกับชุดข้อมูลที่ได้จากการทดลอง....	16
บทที่ 4 สรุปและขอเสนอแนะ	
4.1 สรุป	22
4.2 ขอเสนอแนะ	22
บรรณานุกรม	23
ภาคผนวก	
ภาคผนวก ก ผลผลิตจากการวิจัย.....	ก-1
ภาคผนวก ข ประวัติผู้วิจัย.....	ก-2
ภาคผนวก ค แผนผังโปรแกรม (Program flowchart).....	ก-13

สารบัญตาราง

ตารางที่ 4.1 แสดงค่า λ_i และ G_{oi}	19
---	----

สารบัญภาพ

รูปที่ 3.1 แสดงค่า $G'(\omega_i)$ และ $G''(\omega_i)$ กับความถี่ ของฟิงก์ชันถ่ายโอนที่สั้งเคราะห์ได้โดยวิธี กำลังสองน้อยสุดแบบถ่วงน้ำหนัก $1/\omega$	10
รูปที่ 3.2 แสดงค่า $G'(\omega_i)$ และ $G''(\omega_i)$ กับความถี่ ของฟิงก์ชันถ่ายโอนที่สั้งเคราะห์ได้โดยวิธี กำลังสองน้อยสุดแบบถ่วงน้ำหนัก $1/\omega^2$	10
รูปที่ 3.3 แสดงค่า $G'(\omega_i)$ และ $G''(\omega_i)$ กับความถี่ ของฟิงก์ชันถ่ายโอนที่สั้งเคราะห์ได้โดยวิธี กำลังสองน้อยสุดแบบถ่วงน้ำหนัก $1/\sigma^2$	11
รูปที่ 3.4 แสดงค่า $G'(\omega_i)$ และ $G''(\omega_i)$ กับความถี่ ของฟิงก์ชันถ่ายโอนที่สั้งเคราะห์ได้โดยวิธี กำลังสองน้อยสุดแบบถ่วงน้ำหนัก σ^2	11
รูปที่ 3.5 แสดงค่า $G'(\omega_i)$ และ $G''(\omega_i)$ กับความถี่ ของฟิงก์ชันถ่ายโอนที่สั้งเคราะห์ได้โดยวิธี กำลังสองน้อยสุด.....	12
รูปที่ 3.6 แสดงค่า $G'(\omega_i)$ และ $G''(\omega_i)$ กับความถี่ ของฟิงก์ชันถ่ายโอนที่สั้งเคราะห์ได้โดยวิธี กำลังสองน้อยสุดแบบถ่วงน้ำหนัก $1/\omega$	13
รูปที่ 3.7 แสดงค่า $G'(\omega_i)$ และ $G''(\omega_i)$ กับความถี่ ของฟิงก์ชันถ่ายโอนที่สั้งเคราะห์ได้โดยวิธี กำลังสองน้อยสุดแบบถ่วงน้ำหนัก $1/\sigma^2$	13
รูปที่ 3.8 ฟิงก์ชันถ่ายโอนที่สั้งเคราะห์ได้โดยวิธีกำลังสองน้อยสุดแบบถ่วงน้ำหนัก $1/\omega$ กับชุด ข้อมูลที่มีการกระจายตัว.....	14
รูปที่ 3.9 ฟิงก์ชันถ่ายโอนที่สั้งเคราะห์ได้โดยวิธีกำลังสองน้อยสุดแบบถ่วงน้ำหนัก $1/\sigma^2$ กับชุด ข้อมูลที่มีการกระจายตัว.....	14
รูปที่ 3.10 ฟิงก์ชันถ่ายโอนที่สั้งเคราะห์ได้โดยวิธีกำลังสองน้อยสุดแบบถ่วงน้ำหนัก $1/\omega$ กับชุด ข้อมูลมีจำนวนค่าที่วัด 100 ความถี่.....	15

รูปที่3.11 แสดงค่า $G'(\omega_i)$ และ $G''(\omega_i)$ กับความถี่ ของฟังก์ชันถ่ายโอนที่สั่งเคราะห์ได้โดยวิธี กำลังสองน้อยสุด.....	16
รูปที่3.12 แสดงค่า $G'(\omega_i)$ และ $G''(\omega_i)$ กับความถี่ ของฟังก์ชันถ่ายโอนที่สั่งเคราะห์ได้โดยวิธี กำลังสองน้อยสุดแบบถ่วงน้ำหนัก $1/\omega$	17
รูปที่3.13 แสดงค่า $G'(\omega_i)$ และ $G''(\omega_i)$ กับความถี่ ของฟังก์ชันถ่ายโอนที่สั่งเคราะห์ได้โดยวิธี กำลังสองน้อยสุดแบบถ่วงน้ำหนัก $1/\omega^2$	17
รูปที่3.14 แสดงค่า $G'(\omega_i)$ และ $G''(\omega_i)$ กับความถี่ ของฟังก์ชันถ่ายโอนที่สั่งเคราะห์ได้โดยวิธี กำลังสองน้อยสุดแบบถ่วงน้ำหนัก σ^2	18
รูปที่3.15 แสดงค่า $G'(\omega_i)$ และ $G''(\omega_i)$ กับความถี่ ของฟังก์ชันถ่ายโอนที่สั่งเคราะห์ได้โดยวิธี กำลังสองน้อยสุดแบบถ่วงน้ำหนัก $1/\sigma^2$	18
รูปที่3.16 แสดงค่า $G'(\omega_i)$ และ $G''(\omega_i)$ กับฟังก์ชันถ่ายโอนที่สั่งเคราะห์ได้โดยวิธีกำลังสองน้อย สุดแบบถ่วงน้ำหนัก $1/\omega$ ของpolyethylene.....	20
รูปที่3.17 แสดงค่า $G'(\omega_i)$ และ $G''(\omega_i)$ กับฟังก์ชันถ่ายโอนที่สั่งเคราะห์ได้โดยวิธีกำลังสองน้อย สุดแบบถ่วงน้ำหนัก $1/\omega^2$ ของpolyethylene.....	20
รูปที่3.18 แสดงค่า $G'(\omega_i)$ และ $G''(\omega_i)$ กับฟังก์ชันถ่ายโอนที่สั่งเคราะห์ได้โดยวิธีกำลังสองน้อย สุดแบบถ่วงน้ำหนัก $1/\sigma^2$ ของpolyethylene.....	21
รูปที่ ก1 แผนผังโปรแกรมของวิธีกำลังสองน้อยสุดแบบไม่ถ่วงน้ำหนัก.....	ก-13
รูปที่ ก2 แผนผังโปรแกรมของวิธีกำลังสองน้อยสุดแบบถ่วงน้ำหนัก.....	ก-14

บทที่ 1

บทนำ

1.1 ความสำคัญและที่มาของปัญหาการวิจัย

โดยทั่วไปเมื่อกล่าวถึงสมบัติเชิงกลของวัสดุแล้ว วัสดุในอุตสาหกรรมที่เป็นที่รู้จักกันดี คือ ของแข็งยืดหยุ่น (Elastic solid) และของเหลวหนืด (Viscous liquid) โดยชี้ว่าวัสดุที่มีคุณสมบัติของแข็งยืดหยุ่น จะเป็นวัสดุที่เมื่อได้รับแรงกระทำจากภายนอกก็จะมีการเปลี่ยนแปลงรูปร่างไปอยู่ในสมดุลใหม่ แต่เมื่อแรงกระทำนั้นถูกลดลงจนเป็นศูนย์ วัสดุก็จะกลับคืนสภาพเดิมสู่รูปร่างหรือสมดุลเดิมทันที (ยกเว้นในกรณีที่ผ่านจุด Yield) โดยความสัมพันธ์จะเป็นไปตามกฎของฮooke (Hooke's Law) และวัสดุที่มีคุณสมบัติของเหลวหนืดจะเป็นวัสดุที่มีรูปร่างอย่างไม่สามารถคืนตัวกลับมาอยู่ในสภาพเดิมเมื่อไม่มีแรงกระทำแล้ว ซึ่งความสัมพันธ์จะเป็นไปตามกฎของนิวตัน (Newton's Law) แต่วัสดุบางชนิด เช่น ไม้ พอลิเมอร์ หรือแม้แต่เตือดและก้านเนื้อของมนุษย์ ไม่สามารถจะขัดให้ออกในกลุ่มของแข็งยืดหยุ่น หรือของเหลวหนืดได้ เนื่องจากขึ้นอยู่กับองค์ประกอบต่าง ๆ เช่น ความถี่ อุณหภูมิ เวลา อัตราเร็วในการทดสอบ เป็นต้น ซึ่งวัสดุที่มีสมบัติประเภทนี้จะถูกเรียกว่าวัสดุยืดหยุ่นหนืด (Viscoelastic materials) การตอบสนองของวัสดุยืดหยุ่นหนืด จะแสดงพฤติกรรมของทั้งของแข็งยืดหยุ่น และของเหลวหนืด ในกรณีที่เกี่ยวกับความยืดหยุ่นหนืดจะศึกษาถึงความสัมพันธ์ระหว่างความดัน (Stress) และความเครียด (Strain) ที่ไม่เป็นสัดส่วนคงที่ขึ้นอยู่กับเวลาในการตอบสนองของวัสดุ โดยอาศัยแบบจำลองที่ใช้กระบวนการของเหลวลูกสูบ (Dash pot) เพื่อ忠實พุติกรรมของไอลด์ที่เป็นของเหลวหนืด (Viscous liquid) และใช้สปริง (Spring) เพื่อ忠實พุติกรรมของแข็งยืดหยุ่น (Elastic solid) โดยแบบจำลองที่ใช้กันอย่างแพร่หลายคือ แบบจำลองแบบแมกเวลล์ (Maxwell model), แบบเกลวินหรือโวโยน (Kelvin or Voigt model) ซึ่งเป็นแบบที่นิยมใช้กัน

ปัญหาที่พบในการสร้างแบบจำลองทางคณิตศาสตร์ของวัสดุยืดหยุ่นหนืดเชิงเส้นคือ แบบจำลองที่ได้ไม่สามารถอธิบายพฤติกรรมของวัสดุได้ถูกต้อง งานวิจัยนี้ได้นำเสนอวิธีการใช้ระเบียนวิธีเชิงตัวเลข เพื่อสังเคราะห์หาฟังก์ชันการถ่ายโอนของวัสดุ โดยอาศัยคุณสมบัติความยืดหยุ่นหนืดเชิงเส้นของวัสดุเป็นการระบุเอกลักษณ์ของวัสดุยืดหยุ่นหนืดเชิงเส้นวิธีหนึ่ง โดยใช้หลักการทางทฤษฎีควบคุมอธิบายความสัมพันธ์ระหว่างอินพุตและเอาท์พุตที่กระทำต่อวัสดุยืดหยุ่นหนืดเชิง ซึ่งการได้ฟังก์ชันการถ่ายโอนจะทำให้เราได้ทราบถึงคุณสมบัติของวัสดุทั้งทางค้านสถิติค่าสตรี(static) และพลวัต(dynamic) เป็นวิธีการนำไปสู่การพัฒนาองค์ความรู้ใหม่ เกี่ยวกับการวิจัยและพัฒนาต่อไป

1.2 วัตถุประสงค์ของโครงการวิจัย

ทำการเขียนโปรแกรมเพื่อหาฟังก์ชันการถ่ายโอน โดยใช้คุณสมบัติความยึดหยุ่นหนึ่งเดียว เส้นของวัสดุ

1.3 ขอบเขตของการวิจัย

งานวิจัยนี้ทำการศึกษาการใช้ระเบียบวิธีเชิงตัวเลขในการเขียนโปรแกรม เพื่อใช้ในการสังเคราะห์หาค่าฟังก์ชันการถ่ายโอนของวัสดุ โดยอาศัยคุณสมบัติความยึดหยุ่นหนึ่งเดียว เส้นของวัสดุ

1.4 ประโยชน์ที่คาดว่าจะได้รับ

ภาคการศึกษาและวิจัยที่เกี่ยวข้องกับ วัสดุศาสตร์ จากพฤติกรรมการเปลี่ยนแปลงคุณสมบัติของความยึดหยุ่นหนึ่งเดียว รวมทั้งการออกแบบเครื่องมือวัดความยึดหยุ่นหนึ่งเดียว

บทที่ 2

วิธีดำเนินการวิจัย

Levy [1] ได้นำเสนอเทคนิคในการสังเคราะห์หาฟังก์ชันการถ่ายโอนโดยใช้ข้อมูลการตอบสนองเชิงความถี่ Katkov et al [2] ได้สังเคราะห์ฟังก์ชันถ่ายโอนโดยใช้ข้อมูลค่าจริงและค่าจินตภาพของการตอบสนองเชิงความถี่ Whitfield [3] ได้นำเสนอวิธีรบุเอกสารลักษณ์ และเทคนิค เช่นเดียวกับ Levy โดยเพิ่มวิธีการถ่วงน้ำหนักซึ่งได้ผลที่ดีในช่วงความถี่ต่ำ Choe [4] ได้ทำการศึกษาวิธีสังเคราะห์หาฟังก์ชันถ่ายโอนของระบบอย่างง่าย จากข้อมูลขนาด และเฟส วิธีการ กำลังสองน้อยสุด(Least square method) โดยพิจารณาระบบที่อยู่ในช่วงความถี่ต่ำ และ การถ่วงน้ำหนักด้วย 1/ ω Kim et al [5] ได้นำเสนอวิธีกำลังสองน้อยสุด, Recursive Least Squares (RLS) และ Total Least-Square (TLS) ในกระบวนการรบุเอกสารลักษณ์ของฟังก์ชันถ่ายโอนบนโดยเมนความถี่ Luc Peirlinckx et al [6] ได้ศึกษาวิจัยหาเอกสารลักษณ์ของสมการคอนสติติวทิฟ (Constitutive equations) สำหรับวัสดุเชิงประกอบ(Composite materials) ที่มีคุณสมบัติขึ้นอยู่กับหนึ่งเดียว เช่น Ping Yu et al [8] ได้ศึกษาวิธีการหาเอกสารลักษณ์ของระบบพลวัตของการตอบสนองทางเรโซโลบีของวัสดุขึ้นอยู่กับหนึ่งเดียว ซึ่งวิธีการนี้ถูกพัฒนาเพื่อหาค่าฟังก์ชันการพักความเค้น และการคืนของวัสดุ โดยพิจารณาในโดยเมนของความถี่ ซึ่งเป็นการสมมติแบบจำลองในรูปแบบของฟังก์ชันถ่ายโอนด้วยวิธีการวิเคราะห์ระบบแบบไม่ต่อเนื่องทางเวลา(Discrete-time system) Kwang Soo Cho et al [9] ได้ทำการศึกษาหาแบบจำลองที่ได้จากการสังเกตสำหรับวัสดุขึ้นอยู่กับหนึ่งเดียว เช่น ของโพลิเมอร์แบบไม่กระจายตัว ซึ่งเป็นแบบจำลองที่ทำนายปรากฏการณ์โดยการพิจารณาเฉพาะผลกระบวนการของน้ำหนักโมเลกุลของโพลิเมอร์และวัสดุขึ้นอยู่กับหนึ่งเดียว เช่นเท่านั้น ผลที่ได้คือแบบจำลองสามารถทำนายค่าพลังงานสะสม($G'(\omega)$) และพลังงานที่สูญเสีย($G''(\omega)$) ได้ งานวิจัยที่ได้กล่าวมานี้เป็นเพียงส่วนหนึ่งเท่านั้นที่ทำการศึกษาหาแบบจำลอง เพื่อวิเคราะห์พฤติกรรมต่างๆ ที่เกิดขึ้นกับวัสดุโพลิเมอร์ ซึ่งมีตัวแปรสำคัญ ที่สามารถวัดได้ เช่น ความถี่ในการตอบสนอง ค่าพลังงานสะสม ค่าพลังงานสูญเสียของวัสดุขึ้นอยู่กับหนึ่งเดียว เป็นต้น

วัตถุประสงค์ในการวิจัยนี้ คือการนำข้อมูลที่วัดได้ พลังงานสะสม $G'(\omega)$ พลังงานที่สูญเสีย $G''(\omega)$ และความถี่ (ω) ของวัสดุสำหรับที่นี้เป็นการนำเสนอระเบียบวิธีที่ใช้ในการดำเนินงานวิจัยนี้ คือการนำข้อมูลที่วัดได้ พลังงานสะสม $G'(\omega)$ พลังงานที่สูญเสีย $G''(\omega)$ และความถี่ (ω) ของวัสดุขึ้นอยู่กับหนึ่งเดียว เช่น มาสังเคราะห์หาฟังก์ชันการถ่ายโอน ของวัสดุ โดยใช้ระเบียบวิธีเชิงตัวเลข ซึ่งการศึกษาเกี่ยวกับความยืดหยุ่นหนึ่งเดียวจะศึกษาความสัมพันธ์ระหว่างความเค้น และความเครียดที่ไม่เป็นสัดส่วนคงที่แต่จะขึ้นอยู่กับเวลาในการตอบสนองของวัสดุ โดยวิธีระเบียบเชิงตัวเลข และ ทฤษฎีความคุณ นี้มาใช้ร่วมกับวิธีกำลังสองน้อยสุด, วิธีกำลังสองน้อยสุดแบบถ่วง

น้ำหนัก (Weighting least squares method) ในการสร้างสมการเชิงเส้น โดยมีค่าสัมประสิทธิ์ของฟังก์ชันถ่ายโอนเป็นตัวแปรด้าน และค่าที่ได้จากการทดสอบในที่นี้คือ ค่าพลังงานสะสม ค่าพลังงานที่สูญเสีย และความถี่ เป็นตัวแปรตาม โดยใช้วิธีการ pseudo inverse ในการแก้ปัญหาสมการเชิงเส้น เพื่อหาค่าสัมประสิทธิ์ของฟังก์ชันถ่ายโอน ใช้วิธีหารากของสมการคุณลักษณะ (Characteristic equation) เพื่อหาตำแหน่งของโพลามาพิจารณาความเสถียรของวัสดุ และหาค่าความผิดพลาดจาก norm รายการกำลังสอง (root-square norm: L_2 -norm) ในการพิจารณาเปรียบเทียบความถูกต้องของฟังก์ชันถ่ายโอนที่ได้ โดยขั้นตอนในการคำนวณ โดยโปรแกรมสังเคราะห์หาฟังก์ชันถ่ายโอนนี้ แบ่งเป็น 2 ส่วน ก cioè ส่วนที่หนึ่งเป็นการทดสอบโปรแกรมโดยชุดข้อมูลที่มีค่าความแปรปรวน แล้วใช้โปรแกรมสังเคราะห์หาฟังก์ชันถ่ายโอน ทั้งแบบไม่ถ่วงน้ำหนัก และถ่วงน้ำหนักด้วยค่า $1/\omega$, $1/\omega^2$, σ^2 และ $1/\sigma^2$ เพื่อหาสัมประสิทธิ์ฟังก์ชันถ่ายโอน และส่วนที่สองเป็นการใช้โปรแกรมสังเคราะห์หาฟังก์ชันถ่ายโอนกับชุดข้อมูลที่ได้จากการทดสอบ

2.1 ลักษณะทางคณิตศาสตร์

ในการศึกษาคุณสมบัติเชิงพลวัตของวัสดุยืดหยุ่นหนึ่งเชิงเส้น สามารถวัดค่าพลังงานสะสม ค่าพลังงานที่สูญเสีย และค่า $\tan \delta$ ซึ่ง เป็นวิธีการที่ใช้ในการทดสอบเชิงพลวัตของวัสดุยืดหยุ่น หนึ่งสามารถถ้าแนกได้เป็น 3 แบบคือการสั่นแบบอิสระแบบมีความหน่วง การสั่นแบบอิสระแบบ มีการสั่นพ้อง และการสั่นเนื่องจากแรงแบบไม่มีการสั่นพ้อง วิธีการเหล่านี้เป็นไปตามมาตรฐาน ISO6721 เพื่อใช้ในการทดสอบหาคุณสมบัติเชิงกลของวัสดุ ซึ่งลักษณะคุณสมบัติของการตอบสนองเชิงพลวัต โดยวิธีการสั่นแบบเฉือน โดยให้ความเครียดกระทำกับวัสดุยืดหยุ่นหนึ่งมีค่าเท่ากับ $\gamma(t) = \gamma_0 \sin \omega t$ โดยค่า γ_0 คือค่าขนาดของความเครียด และ ω คือความถี่ที่ใช้กระตุ้นระบบ เรายพบว่าความเค้นเฉือนที่ได้มีมุมเฟสที่แตกต่างจากค่าความเครียดเท่ากับค่าๆหนึ่ง โดยมุมเฟสมีค่าต่างกัน ดังนั้นสมการการตอบสนองของความเค้น ได้ดังสมการ

$$\tau(t) = \tau_0 \sin(\omega t + \delta) = \gamma_0 |G^*(j\omega)| \sin(\omega t + \delta) \quad (1)$$

โดย $\delta = \arctan \frac{G''}{G'}$ ก cioè มุมเฟสต่าง

$$G^*(j\omega) = G'(\omega) + jG''(\omega) \quad \text{คือค่ามอดูลัสเชิงซ้อน (Complex modulus)}$$

$$|G^*(j\omega)| = \sqrt{(G'(\omega))^2 + (G''(\omega))^2} \quad (2)$$

$$G'(\omega) = \frac{\tau_0}{\gamma_0} \cos \delta \quad \text{และ} \quad G''(\omega) = \frac{\tau_0}{\gamma_0} \sin \delta$$

$G'(\omega)$ คือผลั้งงานสะสม และ $G''(\omega)$ คือผลั้งงานที่สูญเสียเป็นความร้อนในระหว่างการเปลี่ยนรูปในการวิเคราะห์ระบบ เมื่อให้อินพุตกับระบบแล้ว สังเกตพฤติกรรมการตอบสนองของเอาพุทที่เกิดขึ้น และจากสมการ(1) สามารถเขียนในรูปของสมการเชิงอนุพันธ์ได้ ดังนี้

$$\tau(j\omega) = \frac{\sum_{k=0}^n b_k(j\omega)^k}{\sum_{p=0}^m a_p(j\omega)^p} \gamma(j\omega) = G^*(j\omega)\gamma(j\omega) \quad (3)$$

โดย $n \leq m$

ในการทดลองจะได้ค่า $G'(\omega)$ และ $G''(\omega)$ จากการเปลี่ยนแปลงความถี่ (ω_i) ในความเดิน เคลื่อนที่มีต่อวัสดุ ดังนั้นสมการ (3) สามารถเขียนอยู่ในรูปของมอคูลัสเชิงซ้อนได้

$$\begin{aligned} G^*(j\omega_i) &= G'(\omega_i) + jG''(\omega_i) = \frac{B(j\omega_i)}{A(j\omega_i)} \\ &= \frac{b_n(j\omega_i)^n + b_{n-1}(j\omega_i)^{n-1} + \dots + b_1(j\omega_i) + b_0}{a_m(j\omega_i)^m + a_{m-1}(j\omega_i)^{m-1} + \dots + a_1(j\omega_i) + 1} \end{aligned} \quad (4)$$

โดยที่ $a_0 = 1$

จากสมการ (4) เขียนใหม่ได้

$$B(j\omega_i) = A(j\omega_i)\{G'(\omega_i) + jG''(\omega_i)\} \quad (5)$$

สมการ (5) สามารถจัดรูปให้อยู่ในค่า $G'(\omega)$ และ $G''(\omega)$ ได้

$$\sum_{h=0}^p b_{2h}(-1)\omega_i^{2h} - G'(\omega_i) \sum_{u=0}^r a_{2u}(-1)^u \omega_i^{2u} + G''(\omega_i) \sum_{v=0}^s a_{2v+1}(-1)^v \omega_i^{2v+1} = G'(\omega_i)$$

$$\sum_{l=0}^p b_{2l}(-1)\omega_i^{2l} - G''(\omega_i) \sum_{u=0}^r a_{2u}(-1)^u \omega_i^{2u} - G'(\omega_i) \sum_{v=0}^s a_{2v+1}(-1)^v \omega_i^{2v+1} = G''(\omega_i)$$

โดยกำหนดให้ $p = \left[\frac{n}{2} \right], q = \left[\frac{(n-1)}{2} \right], r = \left[\frac{m}{2} \right], s = \left[\frac{(m-1)}{2} \right]$

เราสามารถนำสมการข้างต้น มาเขียนอยู่ในรูปแบบของเมตริกซ์

$$\begin{bmatrix} \Omega_1 & 0 & \Omega_2 & \Omega_3 \\ 0 & \Omega_4 & \Omega_5 & \Omega_6 \end{bmatrix} \begin{bmatrix} b_{even} & b_{odd} & a_{even} & a_{odd} \end{bmatrix}^T = \begin{bmatrix} G' \\ G'' \end{bmatrix} \quad (6)$$

โดย $b_{even} = b_2, b_4, \dots, b_{2p}, b_{odd} = b_1, b_3, \dots, b_{2q+1}$,

$a_{even} = a_0, a_2, \dots, a_r$ และ $a_{odd} = a_1, a_3, \dots, a_{2s+1}$

$$\Omega_1 = \begin{bmatrix} 1 & -\omega_1^2 & \omega_1^4 & \dots & (-1)^P \omega_1^{2P} \\ 1 & -\omega_2^2 & \omega_2^4 & \dots & (-1)^P \omega_2^{2P} \\ \vdots & \vdots & \vdots & & \vdots \\ 1 & -\omega_N^2 & \omega_N^4 & \dots & (-1)^P \omega_N^{2P} \end{bmatrix}$$

$$\Omega_2 = \begin{bmatrix} \omega_1^2 G'_1 & -\omega_1^4 G'_1 & \omega_1^6 G'_1 & \dots & (-1)^{r+1} \omega_1^{2r} G'_1 \\ \omega_2^2 G'_2 & -\omega_2^4 G'_2 & \omega_2^6 G'_2 & \dots & (-1)^{r+1} \omega_2^{2r} G'_2 \\ \vdots & \vdots & \vdots & & \vdots \\ \omega_N^2 G'_N & -\omega_N^4 G'_N & \omega_N^6 G'_N & \dots & (-1)^{r+1} \omega_N^{2r} G'_N \end{bmatrix}$$

$$\Omega_3 = \begin{bmatrix} \omega_1 G''_1 & -\omega_1^3 G''_1 & \omega_1^6 G''_1 & \dots & (-1)^s \omega_1^{2s+1} G''_1 \\ \omega_2 G''_2 & -\omega_2^3 G''_2 & \omega_2^6 G''_2 & \dots & (-1)^s \omega_2^{2s+1} G''_2 \\ \vdots & \vdots & \vdots & & \vdots \\ \omega_N G''_N & -\omega_N^3 G''_N & \omega_N^6 G''_N & \dots & (-1)^s \omega_N^{2s+1} G''_N \end{bmatrix}$$

$$\Omega_4 = \begin{bmatrix} \omega_1 & -\omega_1^3 & \omega_1^5 & \dots & (-1)^q \omega_1^{2q+1} \\ \omega_2 & -\omega_2^3 & \omega_2^5 & \dots & (-1)^q \omega_2^{2q+1} \\ \vdots & \vdots & \vdots & & \vdots \\ \omega_N & -\omega_N^3 & \omega_N^5 & \dots & (-1)^q \omega_N^{2q+1} \end{bmatrix}$$

$$\Omega_5 = \begin{bmatrix} \omega_1^2 G''_1 & -\omega_1^4 G''_1 & \omega_1^6 G''_1 & \dots & (-1)^{r+1} \omega_1^{2r} G''_1 \\ \omega_2^2 G''_2 & -\omega_2^4 G''_2 & \omega_2^6 G''_2 & \dots & (-1)^{r+1} \omega_2^{2r} G''_2 \\ \vdots & \vdots & \vdots & & \vdots \\ \omega_N^2 G''_N & -\omega_N^4 G''_N & \omega_N^6 G''_N & \dots & (-1)^{r+1} \omega_N^{2r} G''_N \end{bmatrix}$$

$$\Omega_6 = \begin{bmatrix} \omega_1 G'_1 & -\omega_1^3 G'_1 & \omega_1^6 G'_1 & \dots & (-1)^s \omega_1^{2s+1} G'_1 \\ \omega_2 G'_2 & -\omega_2^3 G'_2 & \omega_2^6 G'_2 & \dots & (-1)^s \omega_2^{2s+1} G'_2 \\ \vdots & \vdots & \vdots & & \vdots \\ \omega_N G'_N & -\omega_N^3 G'_N & \omega_N^6 G'_N & \dots & (-1)^s \omega_N^{2s+1} G'_N \end{bmatrix}$$

โดย N คือจำนวนชุดที่อนุญาต

2.2 วิธีระเบียบเชิงตัวเลข

ในการสังเคราะห์หาฟังก์ชันถ่ายโอน โดยวิธีกำลังสองน้อยสุด จากสมการ (6) เกี่ยวนี้ได้ใหม่ดังนี้

$$\Omega X = G \quad (7)$$

โดยที่ Ω คือเมตริกซ์สัมประสิทธิ์, X คือเวกเตอร์สัมประสิทธิ์ และ G คือเวกเตอร์ที่ได้จากการวัด

ในการประยุกต์ใช้วิธีกำลังสองนี้อยู่ด้วยแบบถ่วงน้ำหนัก และเขียนสมการ (7) ใหม่ ได้ดังนี้

$$w\Omega X = wG \quad (8)$$

$$\text{โดย } w = \begin{bmatrix} w_1 & 0 & 0 & 0 & 0 & 0 & 0 & 0 \\ 0 & w_2 & 0 & 0 & 0 & 0 & 0 & 0 \\ 0 & 0 & \ddots & 0 & 0 & 0 & 0 & 0 \\ 0 & 0 & 0 & w_N & 0 & 0 & 0 & 0 \\ 0 & 0 & 0 & 0 & w_1 & 0 & 0 & 0 \\ 0 & 0 & 0 & 0 & 0 & w_2 & 0 & 0 \\ 0 & 0 & 0 & 0 & 0 & 0 & \ddots & 0 \\ 0 & 0 & 0 & 0 & 0 & 0 & 0 & w_N \end{bmatrix}_{k \times k} \quad (9)$$

โดยค่า w คือเมตริกซ์ถ่วงน้ำหนัก ที่เป็นเมตริกซ์ทบayer มุม และ $k = 2$ เท่าของจำนวนชุดข้อมูล $(2 \times N)$ ซึ่งในงานวิจัยนี้ได้ใช้ค่าในการถ่วงน้ำหนัก 4 แบบคือ

$$\text{แบบที่ 1 กำหนดให้ } w_k = \frac{1}{\omega_k} \quad (10)$$

$$\text{แบบที่ 2 กำหนดให้ } w_k = \frac{1}{\omega_k^2} \quad (11)$$

$$\text{โดย } \omega_k = [\omega_1 \ \omega_2 \ \dots \ \omega_N \ \omega_1 \ \omega_2 \ \dots \ \omega_N]_{1 \times k}$$

สำหรับ การถ่วงน้ำหนักแบบที่ 3 และ แบบที่ 4 จะใช้ค่า ความแปรปรวน (Variance(σ^2)) ของชุดข้อมูล ซึ่งเป็นค่าการกระจายตัวของชุดข้อมูลนั้นๆ นั้นคือ

$$\text{แบบที่ 3 กำหนดให้ } w_k = \sigma_k^2 \quad (12)$$

$$\text{แบบที่ 4 กำหนดให้ } w_k = \frac{1}{\sigma_k^2} \quad (13)$$

$$\text{โดย } \sigma_k^2 = [\sigma_{1,G'}^2 \ \sigma_{2,G'}^2 \ \dots \ \sigma_{N,G'}^2 \ \sigma_{1,G'}^2 \ \sigma_{2,G'}^2 \ \dots \ \sigma_{N,G'}^2]_{1 \times k}$$

โดยทั่วไป การหาเมตริกซ์ผกผัน Ω^{-1} ของเมตริกไดๆ นั้น เมตริกซ์ Ω นั้น ต้องเป็น เมตริกซ์จัตุรัส และต้องมีลักษณะเป็น full rank คือที่ทุก colum หรือแถวภายในเมตริก Ω ต้องมี ความเป็นอิสระต่อ กัน (Linearly independent) แต่ในการหาเมตริกซ์ผกผันเทียม (Pseudo-inverse) นั้น เป็นวิธีการทั่วไปที่ใช้ในการหาเมตริกผกผัน ซึ่งใช้ในการหาเมตริกซ์ Ω ที่เป็นเมตริกจัตุรัส หรือเมตริกที่มีจำนวนมากๆ กว่าจำนวน colum แต่มีเงื่อนไขว่าเมตริกซ์นั้นต้องเป็นเมตริกที่มี

ลักษณะเป็น full rank เพื่อให้ผลเฉลยที่ได้ unique นั่นเอง ข้อดีอีกประการของวิธีการนี้ก็คือ เป็นวิธีการที่สามารถหาเมตริกซ์ผกผันได้ ไม่ว่าเมตริกซ์ Ω จะเป็น singular matrix หรือ non-singular matrix คือ เมตริกซ์ที่ค่า $\det(\Omega) = 0$ หรือ $\det(\Omega) \neq 0$ ตามลำดับ ซึ่งจะได้

$$X = (\Omega^T \Omega)^{-1} \Omega^T G \quad (14)$$

สำหรับเมตริกซ์ที่มีการถ่วงน้ำหนักด้วยเมตริกซ์ w

$$X = (\Omega^T w w^T \Omega)^{-1} \Omega^T w^T w G \quad (15)$$

ขั้นตอนต่อมาคือการวิเคราะห์ความเสถียรของฟังก์ชันถ่ายโอนที่ได้ โดยพิจารณา ตำแหน่งโพลของระบบ โดยหาค่ารากสมการเฉพาะของระบบ ดังนั้นฟังก์ชันถ่ายโอนที่ได้จะต้องมี ความเสถียรเพราะพิจารณาว่าสคูบิคหยุ่นนี่คือที่มีความเสถียร วิธีการหาผลเฉลยที่ให้ค่าที่มีความถูกต้องนั้น ในงานวิจัยนี้จะพิจารณาค่าผลเฉลยกับฟังก์ชันถ่ายโอนที่ได้ หากค่าความผิดพลาด (ε) มากกว่าพิจารณาในการหาค่าสัมประสิทธิ์ของฟังก์ชันถ่ายโอนที่ดีที่สุด

$$\varepsilon_i = \sum_{i=1}^N \left| G^*(j\omega_i) - \frac{B(j\omega_i)}{A(j\omega_i)} \right|^2 \quad (16)$$

โดย ε คือค่าความผิดพลาด

แต่ค่าความผิดพลาดนั้นสามารถกำหนดให้หลายรูปแบบ เนื่องจากค่าความผิดพลาดของระบบสมการอยู่ในรูปเวกเตอร์ $\varepsilon = [\varepsilon_i]$ ดังนั้นการหาขนาดของค่าความผิดพลาดเพื่อใช้การพิจารณา คือค่าความผิดพลาดของระบบสมการอัตโนมัติกำลังสอง

$$\|\varepsilon\|_2 = \sqrt{\varepsilon_1^2 + \varepsilon_2^2 + \dots + \varepsilon_N^2} \quad (17)$$

แผนผังโปรแกรม(Program flowchart)ของวิธีกำลังสองน้อยสุดแบบไม่ถ่วงน้ำหนัก และ แบบถ่วงน้ำหนักได้แสดงไว้ในภาคผนวก ค

บทที่ 3

ผลการวิจัย

ผลการวิจัยประกอบไปด้วย ผลการทดสอบและจำลองสถานการณ์ ซึ่งมีขั้นตอนในการคำนวณโดยโปรแกรมสังเคราะห์หาฟังก์ชันถ่ายโอนนี้ แบ่งเป็น 2 ส่วน คือ ส่วนที่หนึ่งเป็นการทดสอบโดยชุดข้อมูลที่มีค่าความแปรปรวน ด้วยโปรแกรมสังเคราะห์หาฟังก์ชันถ่ายโอนทั้งแบบไม่ถ่วงน้ำหนัก และถ่วงน้ำหนักด้วยค่า $1/\omega$, $1/\omega^2$, σ^2 และ $1/\sigma^2$ และส่วนที่สองเป็นการใช้โปรแกรมสังเคราะห์หาฟังก์ชันถ่ายโอนกับชุดข้อมูลที่ได้จากการทดลอง

3.1 การทดสอบโดยชุดข้อมูลที่มีค่าความแปรปรวน

ในการประเมินและวิเคราะห์โปรแกรมที่ได้จากการวิธีกำลังสองน้อยสุดแบบถ่วงน้ำหนักนี้ ต้องมีการทดสอบความถูกต้อง ความแม่นยำ และความเสถียรของโปรแกรมนี้ๆ ก่อน สำหรับหัวข้อนี้เป็นการนำเสนอผลการทดสอบโดยโปรแกรมสังเคราะห์หาฟังก์ชันถ่ายโอนบางส่วน โดยการนำโปรแกรมไปประยุกต์เข้ากับปัญหาที่ทราบฟังก์ชันถ่ายโอน จากนั้นนำผลที่ได้จากการเปรียบเทียบกับผลเฉลยเมื่อตรงของปัญหานี้ๆ ซึ่งได้มีการทดสอบฟังก์ชันถ่ายโอนดังต่อไปนี้ $n=1$ ถึง 5 และ $m=1$ ถึง 5 โดยชุดข้อมูลมีจำนวนค่าที่วัด 50 ความถี่ ในช่วงความถี่ 10^{-1} ถึง 10^1 Hz และมีความแปรปรวนของชุดข้อมูล $\pm 10\%$

ผลตัวอย่างการทดสอบโดยโปรแกรมที่ 1 โดยพิจารณาจากฟังก์ชันถ่ายโอนดังนี้

$$G^*(j\omega) = \frac{b_3(j\omega)^3 + b_2(j\omega)^2 + b_1(j\omega) + b_0}{a_5(j\omega)^5 + a_4(j\omega)^4 + a_3(j\omega)^3 + a_2(j\omega)^2 + a_1(j\omega) + 1} \quad (18)$$

โดย $a_2 = 1.3542, a_3 = 0.4583, a_4 = 0.0729, a_5 = 4.167 \times 10^{-3}, a_1 = 1.879$

$b_3 = 1, b_2 = -10, b_1 = 31, b_0 = -30$

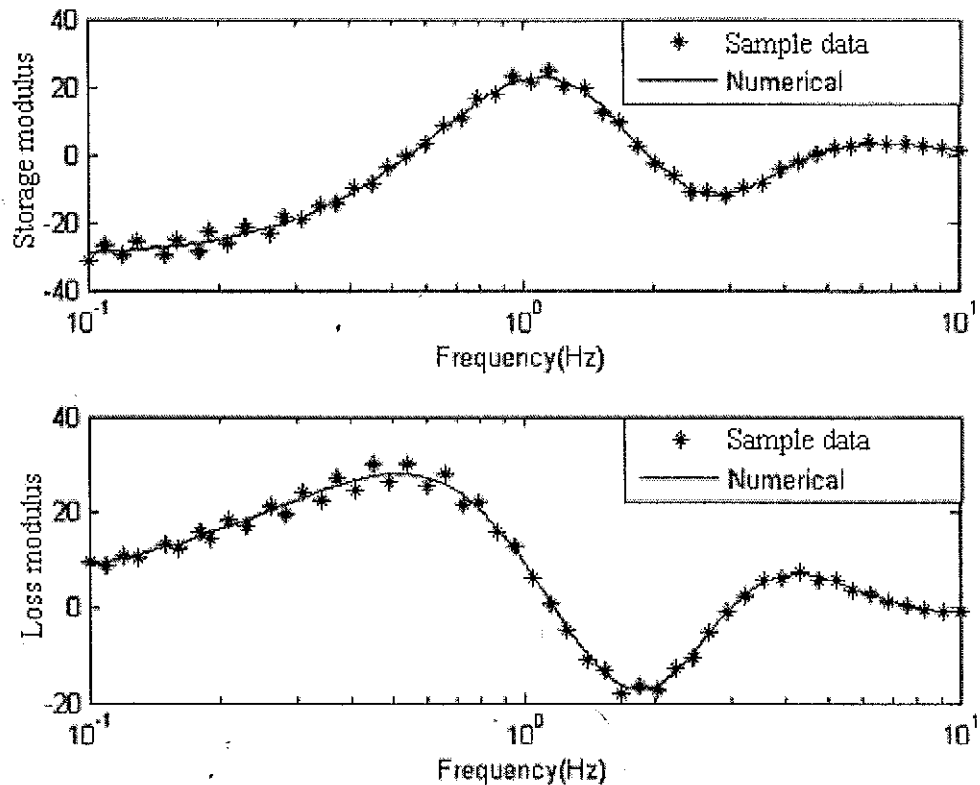
จากรูปที่ 3.1 ถึง 3.5 แสดงผลของการประเมินสำหรับฟังก์ชันถ่ายโอนที่ทดสอบ (18) ซึ่งผลเฉลยของฟังก์ชันถ่ายโอนที่ไม่มีความเสถียรจะไม่นำมาพิจารณา และค่าความผิดพลาดน้อยที่สุดที่ได้คือวิธีกำลังสองน้อยสุดแบบถ่วงน้ำหนักด้วย $1/\omega$, $\|\varepsilon\|_2 = 12.0444$ และฟังก์ชันถ่ายโอนที่ได้จากการผลของวิธีระบุเอกสารกัยณ์ของระบบคือ

$$G^*(j\omega) = \frac{b_4(j\omega)^4 + b_3(j\omega)^3 + b_2(j\omega)^2 + b_1(j\omega) + b_0}{a_5(j\omega)^5 + a_4(j\omega)^4 + a_3(j\omega)^3 + a_2(j\omega)^2 + a_1(j\omega) + 1}$$

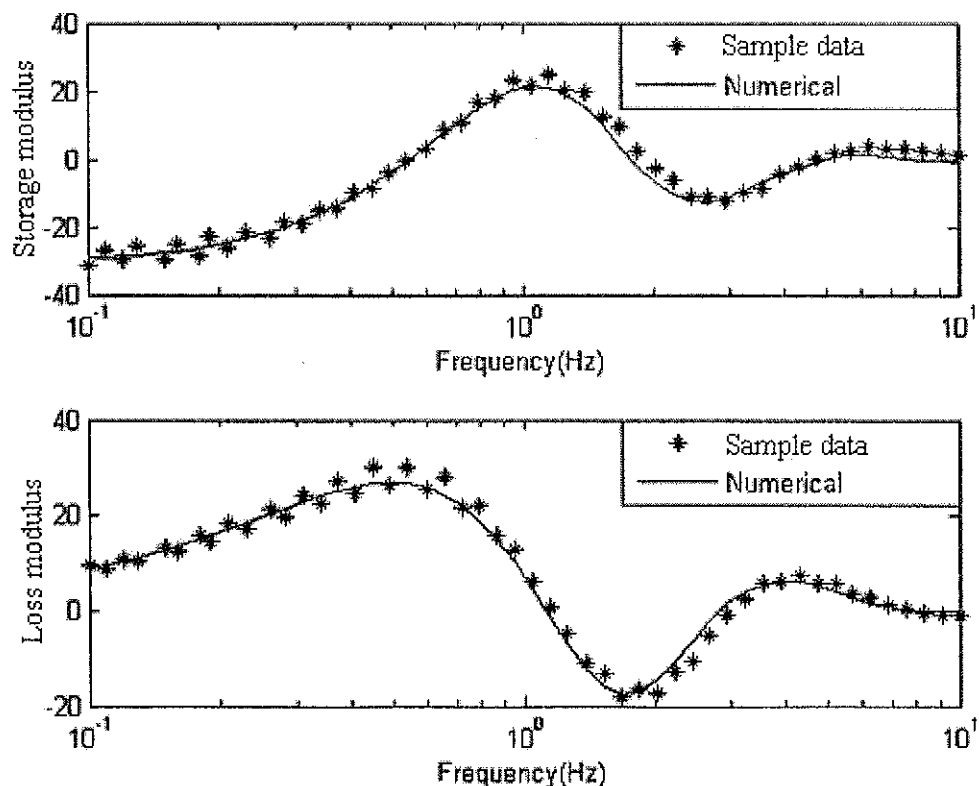
โดย $a_5 = 4.078 \times 10^{-3}, a_4 = 0.07172, a_3 = 0.456, a_2 = 1.351, a_1 = 1.906$

$b_4 = 6.912 \times 10^{-3}, b_3 = 0.9968, b_2 = -10.22, b_1 = 30.16, b_0 = -30.37,$

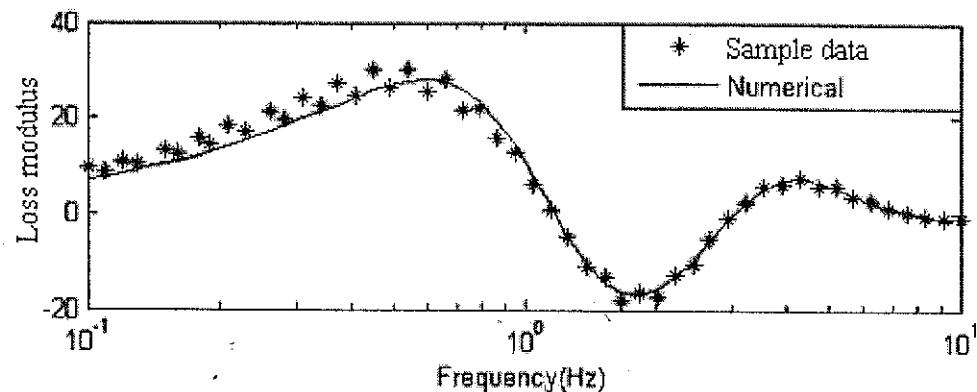
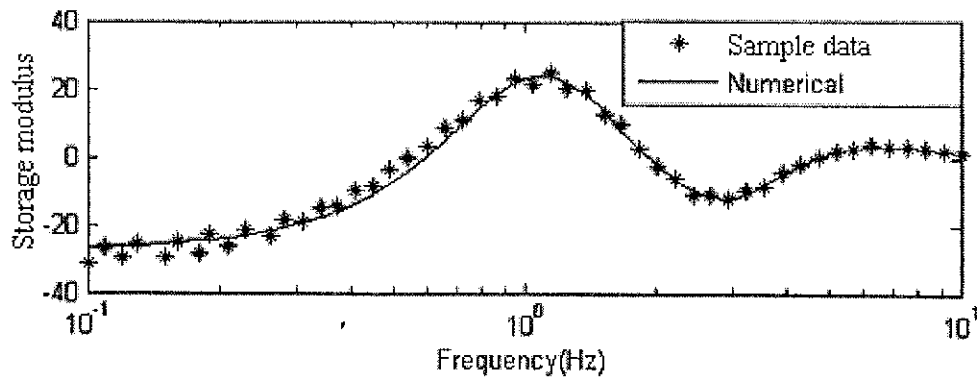
ส่วนค่าความผิดพลาดที่เกิดขึ้นโดยวิธีกำลังสองน้อยสุดแบบถ่วงน้ำหนักด้วย $1/\sigma^2$ และ $1/\omega^2$ คือ $\|\varepsilon\|_2 = 20.127$ และ $\|\varepsilon\|_2 = 20.4$



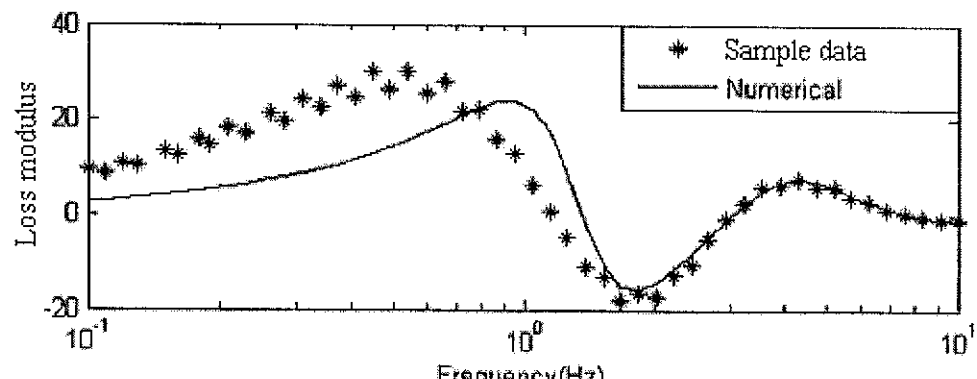
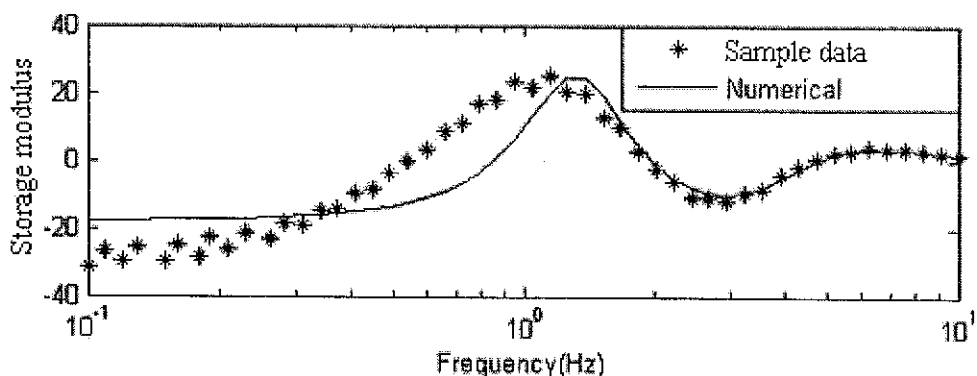
รูปที่ 3.1 แสดงค่า $G'(\omega_i)$ และ $G''(\omega_i)$ กับความถี่ ของฟังก์ชันถ่ายโอนที่สั่นเคราะห์ได้โดยวิธี
กำลังสองน้อยสุดแบบถ่วงน้ำหนัก $1/\omega$



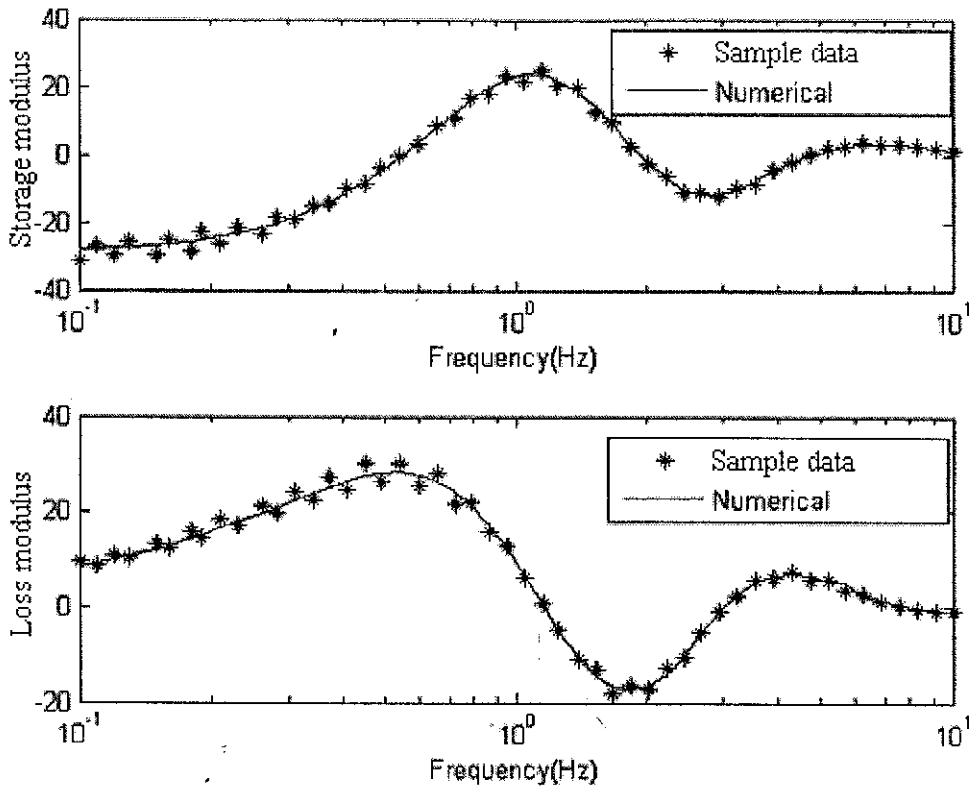
รูปที่ 3.2 แสดงค่า $G'(\omega_i)$ และ $G''(\omega_i)$ กับความถี่ ของฟังก์ชันถ่ายโอนที่สั่นเคราะห์ได้โดยวิธี
กำลังสองน้อยสุดแบบถ่วงน้ำหนัก $1/\omega^2$



รูปที่ 3.3 แสดงค่า $G'(\omega_i)$ และ $G''(\omega_i)$ กับความถี่ ของฟังก์ชันถ่ายโอนที่สั่นเคราะห์ได้โดยวิธี
กำลังสองน้อยสุดแบบถ่วงน้ำหนัก $1/\sigma^2$



รูปที่ 3.4 แสดงค่า $G'(\omega_i)$ และ $G''(\omega_i)$ กับความถี่ ของฟังก์ชันถ่ายโอนที่สั่นเคราะห์ได้โดยวิธี
กำลังสองน้อยสุดแบบถ่วงน้ำหนัก σ^2



กฎที่ 3.5 แสดงค่า $G'(\omega_i)$ และ $G''(\omega_i)$ กับความถี่ของฟังก์ชันถ่ายโอนที่สั้นกระทำได้โดยวิธีกำลังสองน้อยสุด

ผลตัวอย่างการทดสอบโปรแกรมที่ 2. โดยพิจารณาจากฟังก์ชันถ่ายโอนดังนี้

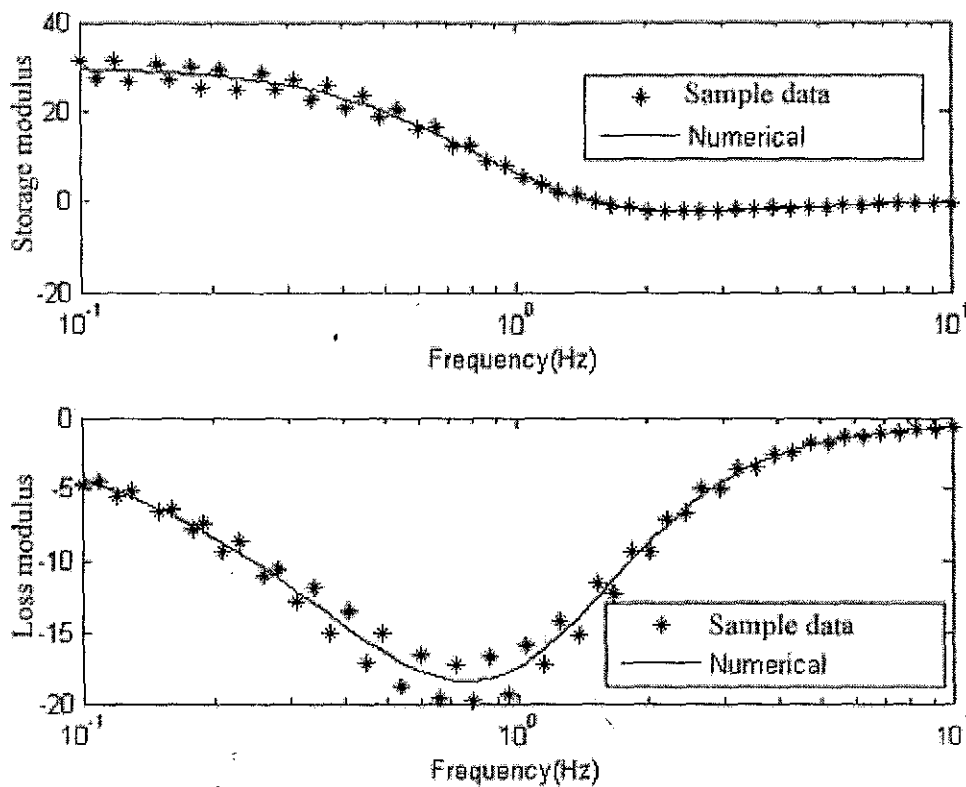
$$G^*(j\omega) = \frac{b_2(j\omega)^2 + b_1(j\omega) + b_0}{a_3(j\omega)^3 + a_2(j\omega)^2 + a_1(j\omega) + 1} \quad (19)$$

โดย $b_2 = 1, b_1 = 11, b_0 = 30, a_3 = 0.1667, a_2 = 1, a_1 = 1.833$

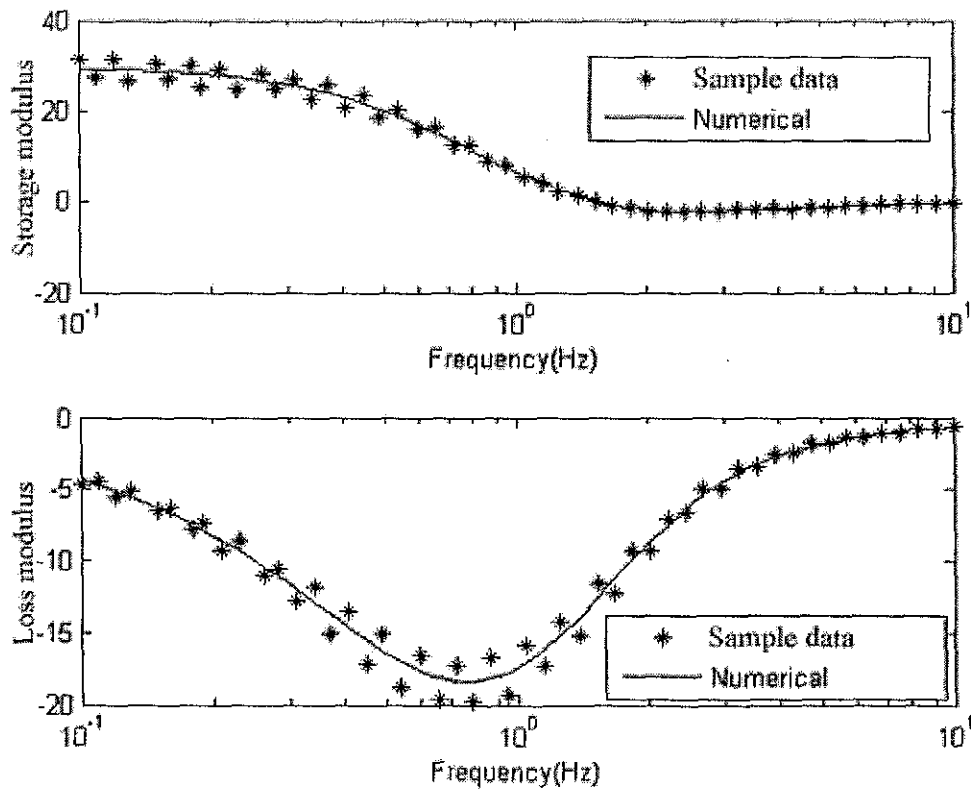
จากกฎที่ 3.6 และ 3.7 แสดงผลของการประเมินสำหรับฟังก์ชันถ่ายโอนที่ทดสอบ (19) ค่าความผิดพลาดน้อยที่สุดที่ได้คือวิธีกำลังสองน้อยสุดแบบต่อเนื่องน้ำหนักด้วย $1/\omega$, $\|\varepsilon\|_2 = 10.64$ และฟังก์ชันถ่ายโอนที่ได้จากการของวิธีระบบเอกลักษณ์ของระบบคือ

$$G^*(j\omega) = \frac{0.1334(j\omega)^2 + 3.662(j\omega) + 29.94}{1.537 \times 10^{-2}(j\omega)^3 + 0.6207(j\omega)^2 + 1.579(j\omega) + 1}$$

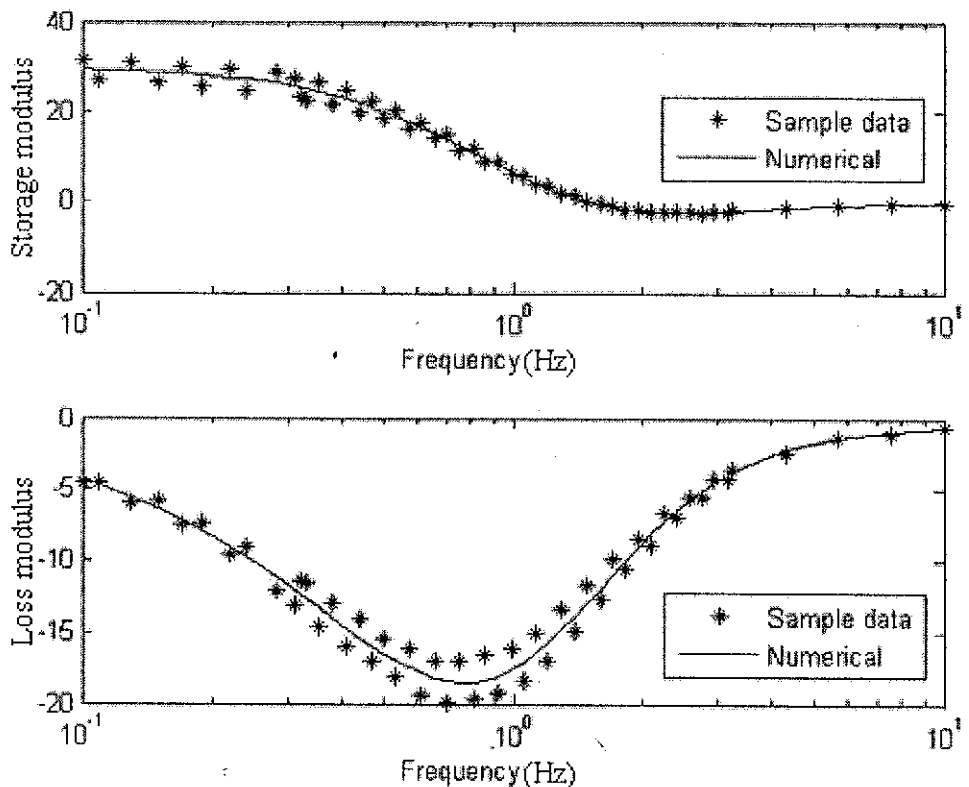
ส่วนค่าความผิดพลาดที่เกิดขึ้นโดยวิธีกำลังสองน้อยสุดแบบต่อเนื่องน้ำหนักด้วย $1/\sigma^2$ และ $1/\omega^2$ คือ $\|\varepsilon\|_2 = 10.646$ และ $\|\varepsilon\|_2 = 10.75$



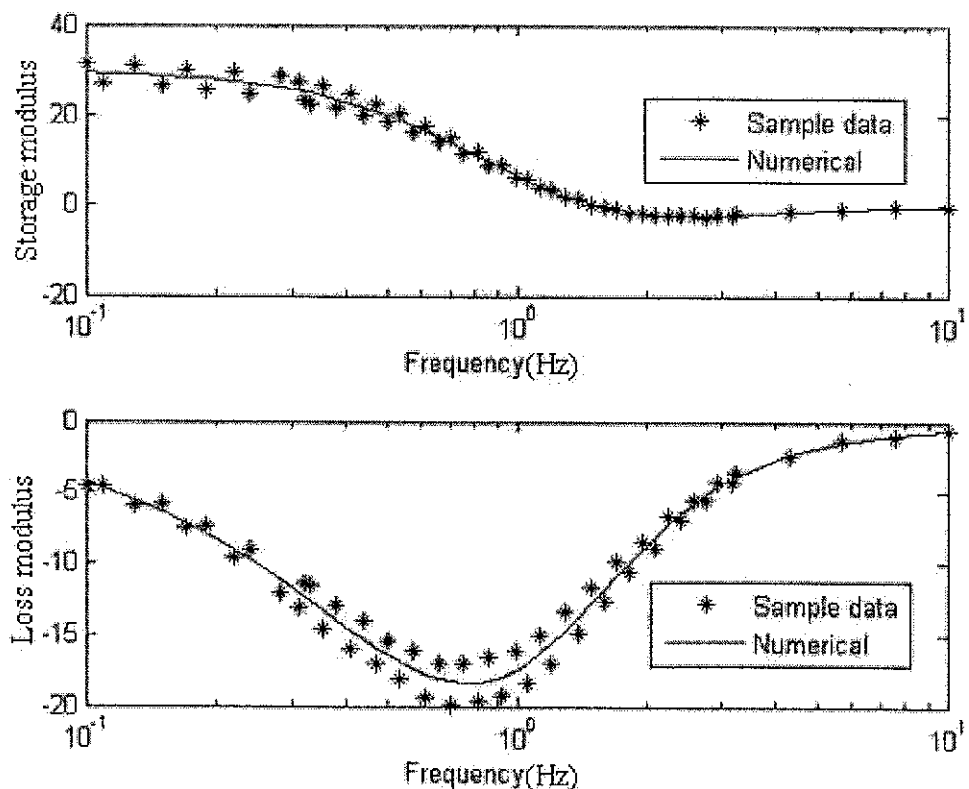
รูปที่ 3.6 แสดงค่า $G'(\omega_i)$ และ $G''(\omega_i)$ กับความถี่ ของฟังก์ชันถ่ายโอนที่สั่งเคราะห์ได้โดยวิธี
กำลังสองน้อยสุดแบบถ่วงน้ำหนัก $1/\omega$



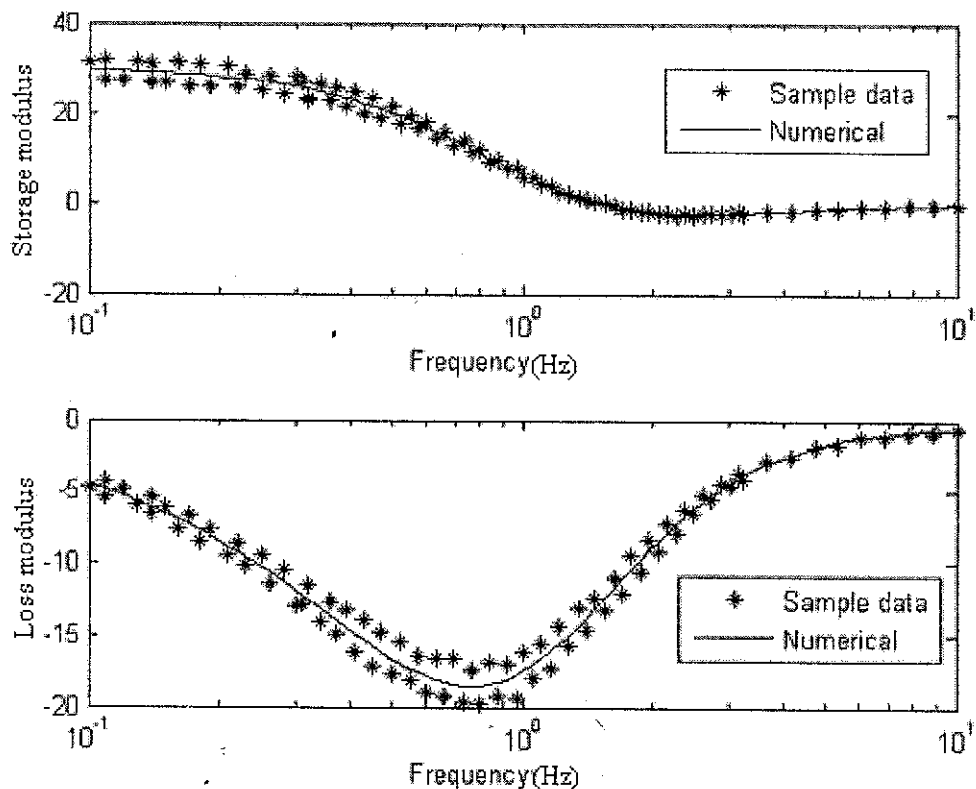
รูปที่ 3.7 แสดงค่า $G'(\omega_i)$ และ $G''(\omega_i)$ กับความถี่ ของฟังก์ชันถ่ายโอนที่สั่งเคราะห์ได้โดยวิธี
กำลังสองน้อยสุดแบบถ่วงน้ำหนัก $1/\sigma^2$



รูปที่ 3.8 ฟังก์ชันถ่ายโอนที่สั่งกระแทกได้โดยวิธีกำลังสองน้อยสุดแบบถ่วงนำหนัก $1/\omega$ กับชุดข้อมูลที่มีการกระจายตัว



รูปที่ 3.9 ฟังก์ชันถ่ายโอนที่สั่งกระแทกได้โดยวิธีกำลังสองน้อยสุดแบบถ่วงนำหนัก $(1/\sigma^2)$ กับชุดข้อมูลที่มีการกระจายตัว



รูปที่ 3.10. พังก์ชันถ่ายโอนที่สังเคราะห์ได้โดยวิธีกำลังสองน้อยสุดแบบถ่วงน้ำหนัก $1/\omega$ กับชุดข้อมูลมีจำนวนค่าที่วัด 100 ความถี่

ส่วนรูปที่ 3.8 และ 3.9 แสดงผลของการประเมินสำหรับพังก์ชันถ่ายโอนกับชุดข้อมูลที่มีการกระจายตัว ซึ่งวิธีกำลังสองน้อยสุดแบบถ่วงน้ำหนักค่วย $1/\omega$, $\|\varepsilon\|_2 = 11.696$ และพังก์ชันถ่ายโอนที่ได้คือ

$$G^*(j\omega) = \frac{7.067 \times 10^{-2}(j\omega)^2 + 2.922(j\omega) + 29.94}{0.5879(j\omega)^2 + 1.549(j\omega) + 1}$$

และค่าความผิดพลาด โดยวิธีกำลังสองน้อยสุดแบบถ่วงน้ำหนักด้วย $1/\sigma^2$ และ $1/\omega^2$ คือ $\|\varepsilon\|_2 = 11.678$ และ $\|\varepsilon\|_2 = 11.392$ และรูปที่ 3.10 แสดงผลการสังเคราะห์พังก์ชันถ่ายโอนเมื่อชุดข้อมูลจำนวนการวัดเพิ่มขึ้นเป็น 100 ความถี่ในช่วงความถี่เดิม จากวิธีกำลังสองน้อยสุดแบบถ่วงน้ำหนักด้วย $1/\omega$, $\|\varepsilon\|_2 = 14.265$ และพังก์ชันถ่ายโอนที่ได้

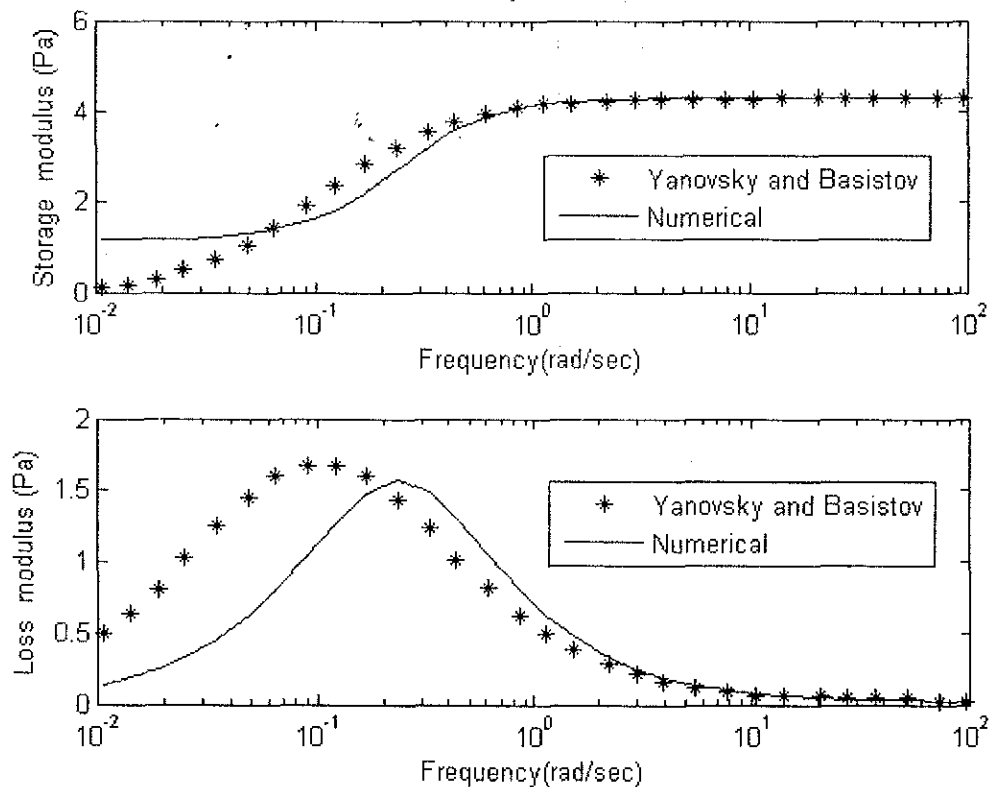
$$G^*(j\omega) = \frac{0.1619(j\omega)^2 + 3.606(j\omega) + 30.23}{1.532 \times 10^{-2}(j\omega)^3 + 0.6139(j\omega)^2 + 1.582(j\omega) + 1}$$

และค่าความผิดพลาดในกรณีนี้โดยวิธีกำลังสองน้อยสุดแบบถ่วงน้ำหนักด้วย $1/\sigma^2$ และ $1/\omega^2$ คือ $\|\varepsilon\|_2 = 14.268$ และ $\|\varepsilon\|_2 = 14.414$ ผลของค่าความผิดพลาดที่เพิ่มขึ้นนั้น เพราะจำนวนข้อมูลที่เพิ่มขึ้นนั้นเอง

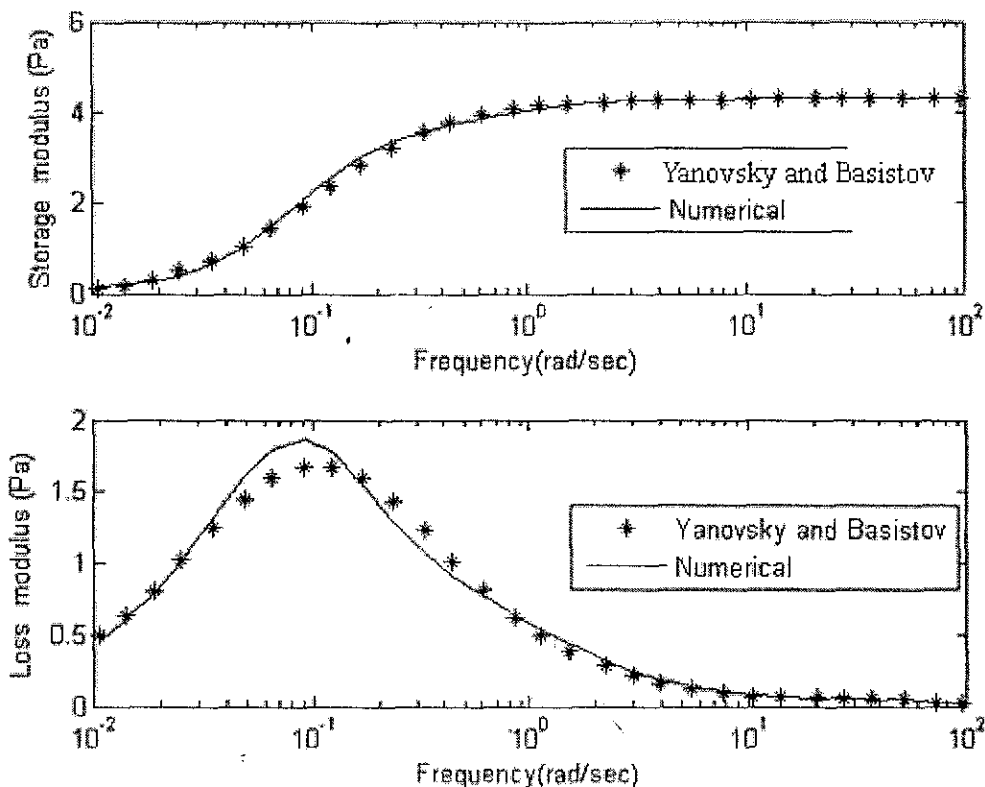
จากผลการทดสอบและจำลองสถานการณ์ในกรณีต่างๆที่พิจารณาข้างต้น โดยวิธีกำลังสองน้อยสุดแบบดั่งนี้หนักด้วย $1/\omega$, $1/\omega^2$ และ $1/\sigma^2$ ในการสังเคราะห์ฟังก์ชันถ่ายโอนของวัสดุคือที่อยู่บนหนึ่งเดียวที่มีประสิทธิภาพดีพอเพียง

3.2 การใช้โปรแกรมสังเคราะห์หาฟังก์ชันถ่ายโอนกับชุดข้อมูลที่ได้จากการทดสอบ

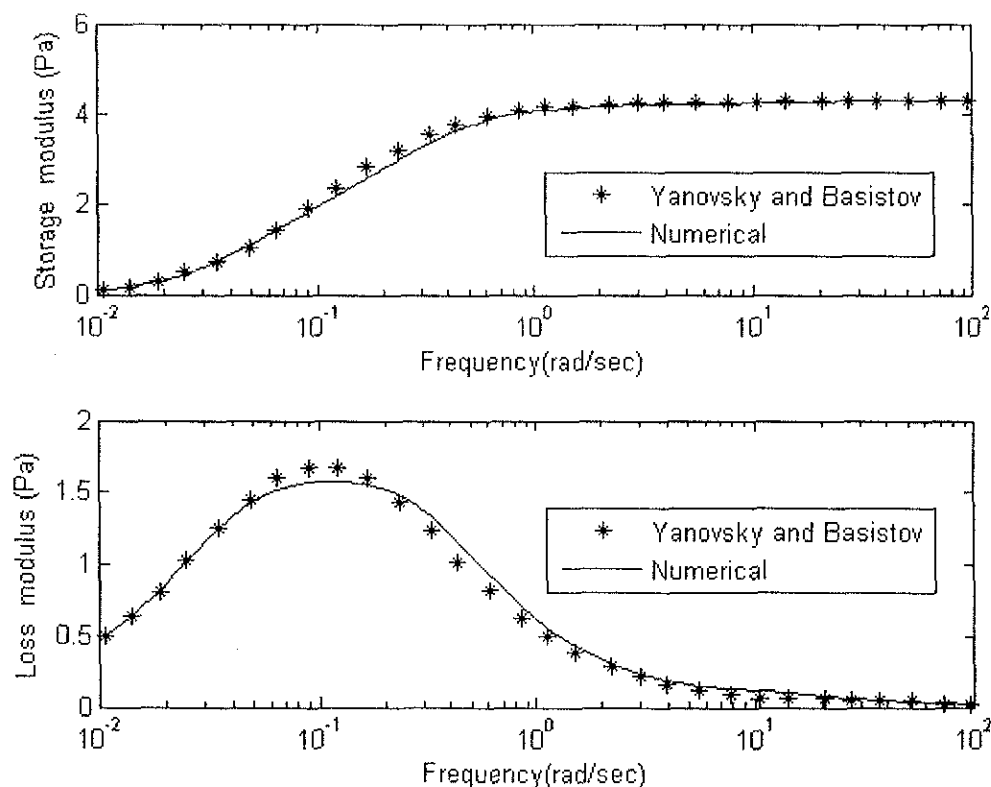
ตอนที่ 1. โปรแกรมที่ทำการเขียนขึ้นเพื่อสังเคราะห์หาฟังก์ชันถ่ายโอน เมื่อผ่านกระบวนการทดสอบกับปัญหามาตรฐาน พบว่า มีความแม่นยำ และมีเสถียรภาพ จึงได้นำโปรแกรมดังกล่าวมาประยุกต์ใช้กับปัญหานี้โดยการนำผลการทดลองที่ได้ มาทำการใช้ร่วมกับโปรแกรมสังเคราะห์หาฟังก์ชันถ่ายโอน โดยใช้ชุดข้อมูลจากการทดลองที่มีจำนวนค่าที่วัด 30 ค่าที่ ในช่วงความถี่ $0.01\text{-}100$ rad/sec ของ polybutadien polymer ที่มีน้ำหนักโมเลกุลเท่ากับ 8.3×10^{-4} kg (Yanovsky G. Yu., Basistov G. Yu. and Signer A. Dennis. [7])



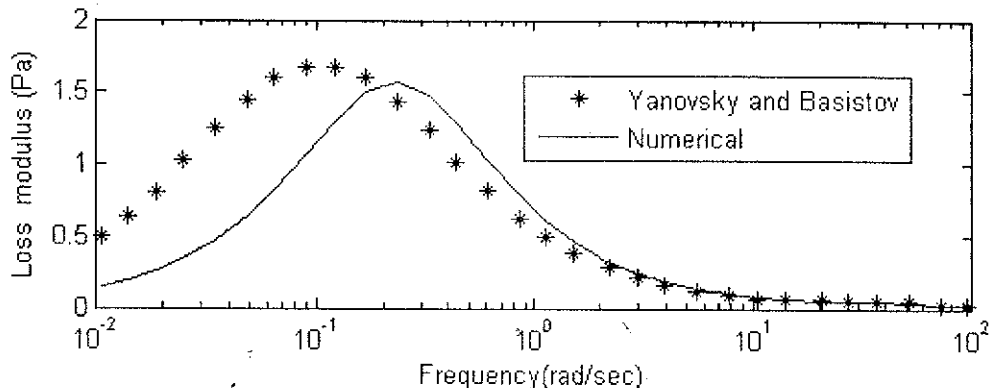
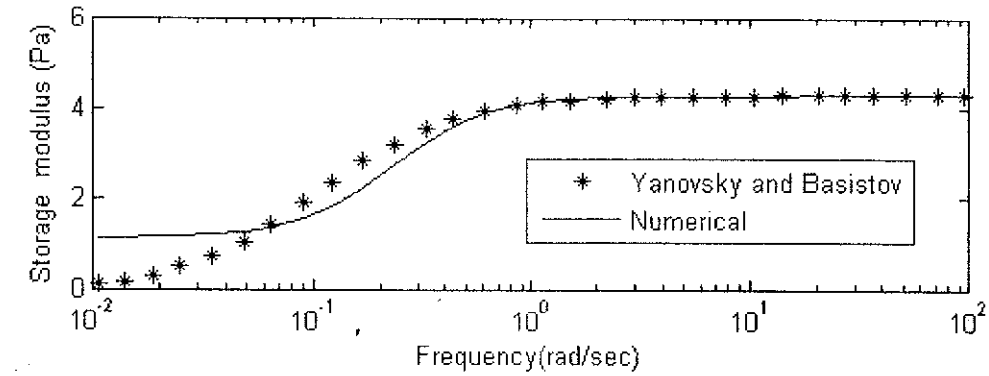
รูปที่ 3.11 แสดงค่า $G'(\omega_i)$ และ $G''(\omega_i)$ กับความถี่ ของฟังก์ชันถ่ายโอนที่สังเคราะห์ได้โดยวิธี กำลังสองน้อยสุด



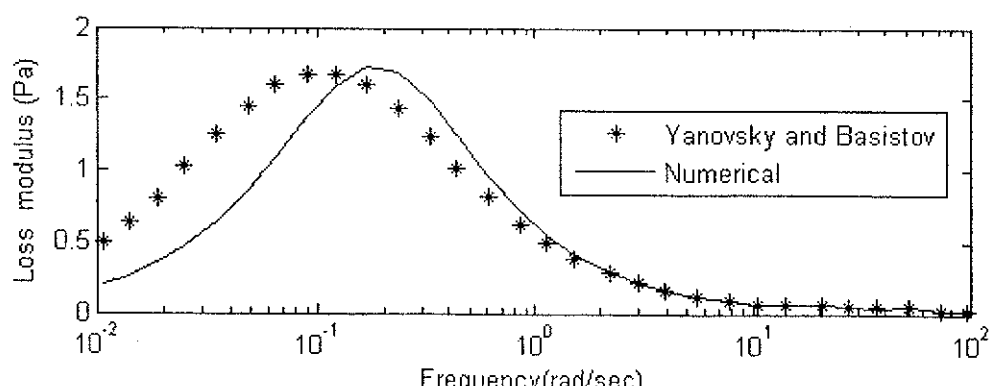
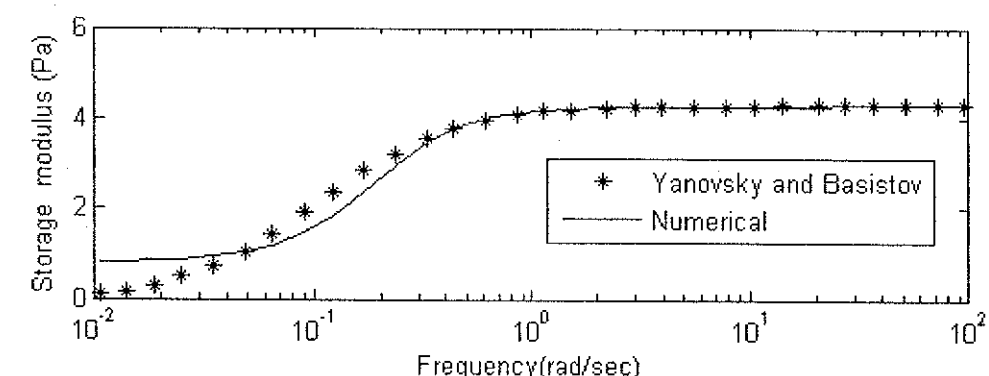
รูปที่ 3.12 แสดงค่า $G'(\omega_i)$ และ $G''(\omega_i)$ กับความถี่ ของฟังก์ชันถ่ายโอนที่สัมเคราะห์ได้โดยวิธี
กำลังสองน้อยสุดแบบถ่วงน้ำหนัก ($1/\omega$)



รูปที่ 3.13 แสดงค่า $G'(\omega_i)$ และ $G''(\omega_i)$ กับความถี่ ของฟังก์ชันถ่ายโอนที่สัมเคราะห์ได้โดยวิธี
กำลังสองน้อยสุดแบบถ่วงน้ำหนัก $1/\omega^2$



รูปที่ 3.14 แสดงค่า $G'(\omega_i)$ และ $G''(\omega_i)$ กับความถี่ของฟังก์ชันถ่ายโอนที่สั่งเคราะห์ได้โดยวิธี
กำลังสองน้อยสุดแบบถ่วงน้ำหนัก σ^2



รูปที่ 3.15 แสดงค่า $G'(\omega_i)$ และ $G''(\omega_i)$ กับความถี่ของฟังก์ชันถ่ายโอนที่สั่งเคราะห์ได้โดยวิธี
กำลังสองน้อยสุดแบบถ่วงน้ำหนัก $1/\sigma^2$

จากรูปที่ 3.11 ถึง 3.15 แสดงผลของการสังเคราะห์ฟังก์ชันถ่ายโอน ซึ่งค่าความผิดพลาดน้อยที่สุดที่ได้คือวิธีกำลังสองน้อยสุดแบบถ่วงน้ำหนักด้วย $1/\omega^2$ และ $\|\varepsilon\|_2 = 0.588$ และฟังก์ชันถ่ายโอนที่ได้

$$G^*(j\omega) = \frac{22.76(j\omega)^3 + 322.5(j\omega)^2 + 49.02(j\omega) + 0.01968}{5.277(j\omega)^3 + 77.47(j\omega)^2 + 23.25(j\omega) + 1}$$

ส่วนค่าความผิดพลาดน้อยที่เกิดขึ้นในลำดับถัดมา คือวิธีกำลังสองน้อยสุดแบบถ่วงน้ำหนักด้วย $1/\omega$ และ $1/\sigma^2$ คือ $\|\varepsilon\|_2 = 0.592$ และ $\|\varepsilon\|_2 = 2.076$

ตอนที่ 2. การประยุกต์โปรแกรมใช้กับ Linear low density polyethylene โดยใช้ metallocene เป็นตัวเร่งปฏิกิริยา ซึ่งการทดลองนี้เป็นการศึกษาที่สถานะของเหลวในช่วงที่เกิดการหลอมละลาย โดยใช้ข้อมูลจากนิวจั๊บของ Esra Kucukpinar et al (1999) [10] ที่พิจารณาในช่วง 0.01 – 1000 rad/sec โดยใช้แบบจำลอง Wagner ซึ่งพบว่าแบบจำลองดังกล่าวสามารถหาค่าพลังงานสะสม ค่าพลังงานที่สูญเสียได้ถูกต้อง เป็นไปดังสมการที่ (19) และสมการที่ (20)

$$G^i(\omega) = \sum_i \frac{G_{oi} \lambda_i^2 \omega^2}{1 + \lambda_i^2 \omega^2} \quad (19)$$

$$G'(\omega) = \sum_i \frac{G_{oi} \lambda_i \omega}{1 + \lambda_i^2 \omega^2} \quad (20)$$

โดย λ_i – relaxation time และ G_{oi} – relaxation strength

ตารางที่ 4.1 แสดงค่า λ_i และ G_{oi} ของ Metallocene-catalyzed linear low density polyethylene resin ชนิด 350D60 ที่มีค่า M_w เท่ากับ 100,000 g/mol, Melt index เท่ากับ 1 g/10 min, Density เท่ากับ 0.917 g/cm³, Melting point เท่ากับ 119 °C

ตารางที่ 4.1 แสดงค่า λ_i และ G_{oi}

Exceed 350D60	
λ_i , sec	G_{oi} , Pa
10	1.94E+01
1	8.33E+02
0.1	3.93E+04
0.01	3.48E+05
0.001	3.70E+05
0.0001	1.00E+06

ภาคผนวก ก
ผลผลิตจากงานวิจัย

งานวิจัยนี้ มีผลผลิตซึ่งสามารถแบ่งออกได้เป็น 2 กลุ่ม ดังต่อไปนี้

1. ปริญญาวิกรรมศาสตร์มหาบัณฑิต จำนวน 1 เล่ม

- นายอัษฎาภูช รอดพ่าย. 2549. การสังเคราะห์หาฟังก์ชันถ่ายโอนของวัสดุยืดหยุ่น หนึ่ดเชิงเดี่ยว. สาขาวิกรรมเครื่องกล, สำนักวิชาชีวกรรมศาสตร์, มหาวิทยาลัยเทคโนโลยีสุรนารี

2. บทความวิจัยดีพิมพ์เผยแพร่

2.1 ประชุมวิชาการระดับชาติ

- Autsadayut Rodpai, Jiraphon Srisertpol, N. P. Moshkin (2004) “Numerical Algorithm for Transfer Function Synthesize Using Experimental Frequency Response Data” , Proceedings of the 8th Annual National Symposium on Computational Science and Engineering., pp 269-272.
- Autsadayut Rodpai, Jiraphon Srisertpol (2006) “Mathematical Model of Linear Viscoelastic Materials using System Identification Method”, Proceedings of the 20th National Mechanical Engineering Conference, 18-20 October 2006, Nakhon Ratchasima, Thailand.

2.2 ประชุมวิชาการระดับนานาชาติ

- J. Srisertpol, A. Rodpai (2007) “Mathematical Model of Linear Viscoelastic Materials using Weighting Least Square Method”, Proceedings of the 26th IASTED International Conference on Modelling, Identification and Control (MIC 2007), 12-14 February 2007, Innsbruck, Austria., pp.452-457

ประวัติและผลงานทางวิชาการ

ชื่อ-นามสกุล (ภาษาไทย) ผู้ช่วยศาสตราจารย์ ดร.จิระพล ศรีเสริรพล

(ภาษาอังกฤษ) Assistant Professor Jiraphon Srisertpol, Ph.D

การศึกษา/คุณวุฒิ

2003 Ph.D. (System analysis, Control and Processing information) St.Petersburg State University of Aerospace Instrumentation, Russia. (ทุน scholarship รัฐบาลประเทศรัสเซีย)

1998 M.E. (Technical Maintenance Aviation Electrosystems and Pilot- Navigation Complexes) St.Petersburg State Academy of Aerospace Instrumentation, Russia.

ตำแหน่งปัจจุบัน

- ผู้ช่วยอธิการบดีฝ่ายคิจการนักศึกษา มหาวิทยาลัยเทคโนโลยีสุรนารี
- ผู้ช่วยศาสตราจารย์ประจำสาขาวิชาวิศวกรรมเครื่องกล สำนักวิชาวิศวกรรมศาสตร์ มหาวิทยาลัยเทคโนโลยีสุรนารี
- ผู้ดูแลหลักสูตรวิศวกรรมศาสตร์บัณฑิต สาขาวิชาวิศวกรรมแมคคาทรอนิกส์ สำนักวิชา วิศวกรรมศาสตร์ มหาวิทยาลัยเทคโนโลยีสุรนารี

ผลงานวิชาการ

- **Srisertpol, J., Katkov, M.S., Azamov A.A.(2001), "The Synthesis of The Indirect Adaptive Control System", Proceedings of the 5th International Federation of Automatic Control (IFAC) Symposium "Nonlinear Control Systems", pp 346-379.**
- **Srisertpol, J.(2001), "Adaptive System with Modal Control", Proceedings of the BICAMP'01-The Third international school-seminar, pp 64-66.**
- **Srisertpol, J., Katkov, M.S., Azamov, A.A., (2002), "System Identification of Model Non-Stationary Plant Using The Structure of The Generalized Tuning of Measurement (GTSM)", Control and Information Systems for Mobile Objects "Seminars ASK Lab 2001" St.Petersburg, Polytechnic 2002. pp 163-171. (in russian)**
- **Srisertpol, J., Katkov, M.S.(2002), "Research of Adaptive Parametrical Measurement System For Non-Stationary Plant", Proceedings of the International Symposium "Space Instrument and Technologies" ,pp 101-102.**
- **Srisertpol, J., "Method of Parameter Identification for Non-Stationary Process", The Instrumentation, Systems and Automation Society (ISA) EuroXChange No. 7(Spring) 2002, pp 33-36.**

- Autsadayut Rodpai, **Jiraphon Srisertpol**, N. P. Moshkin (2004) "Numerical Algorithm for Transfer Function Synthesize Using Experimental Frequency Response Data", Proceedings of the 8th Annual National Symposium on Computational Science and Engineering., pp 269-272.
- Chermpong Prattanaruk, **Jiraphon Srisertpol** (2004), "Synthesis Algorithm of Adaptive Dynamic Vibration Absorber to Suppress Beam Vibration", Proceedings of the 8th Annual National Symposium on Computational Science and Engineering., pp 389-392.
- รองศาสตราจารย์.ร.อ.ดร. กนต์ธร ชำนินปราชุณี และดร.จิระพล ศรีเสรีรัฐ (2548) “ เอกสารคำสอน รายวิชา 402401 ระบบควบคุมอัตโนมัติ ”, มหาวิทยาลัยเทคโนโลยีสุรนารี, 265 หน้า
- Chermpong Prattanaruk, **Jiraphon Srisertpol** (2006) "Stiffness Adjustment of Dual Mass Cantilever Absorber for Suppressing Beam Vibration", Proceedings of the 20th National Mechanical Engineering Conference, pp.621-628
- Autsadayut Rodpai, **Jiraphon Srisertpol** (2006) "Mathematical Model of Linear Viscoelastic Materials using System Identification Method", Proceedings of the 20th National Mechanical Engineering Conference, pp.753-760
- Eakarong Sukjit, Jakrapong Klawka, **Jiraphon Srisertpol** and Ekachai Juntasaro (2006), "Using FLUENT to Predict Heat Transfer in a Computer Case to Optimize the Number of Fans and the Locations to install", Proceedings of the 20th National Mechanical Engineering Conference, pp.607-612
- **J. Srisertpol**, A. Rodpai (2007) "Mathematical Model of Linear Viscoelastic Materials using Weighting Least Square Method", Proceedings of the 26th IASTED International Conference on Modelling, Identification and Control (MIC 2007), 12-14 February 2007, Innsbruck, Austria., pp.452-457

งานสอน :

ระดับปริญญาตรี : Thermodynamic I, Internal Combustion Engine, Engineering Graphic I, Engineering Graphic II, Mechanical Vibration, Automatic Control Systems, Control of Mechanical Systems, Automated Manufacturing I, Mechanical Engineering Lab I, Mechanical Engineering Lab II, Mechanical Engineering Lab III, Manufacturing Engineering Lab I, Manufacturing Engineering Lab II, Manufacturing Engineering Lab III, Automotive Automatic Control Systems, Measurements and Instrumentation

ระดับปริญญาโท : System Dynamics, Advanced Control Systems, Advanced Mechanical Vibration, Advanced Numerical Methods for Mechanical Engineering, Experimental System Design, Vibration Analysis, Advanced Numerical Methods, Applied Mathematics, Classical and Modern Control Systems.

ประวัติและผลงานทางวิชาการ

Associate Professor Dr. Nikolay Moshkin

(Name) ชื่อ-นามสกุล (ภาษาไทย) นาย นิโคล่า耶 มอชคิน
(ภาษาอังกฤษ) Mr. Nikolay Moshkin

(Degrees)

10/1984 Ph.D. (Candidate of Sciences). Mechanics of Fluids, Gas and Plasma, by Institute of Theoretical and Applied Mechanics of Siberian Branch of Russian Academy of Sciences (SBRAS).

Supervisor: Prof. B. G. Kuznetsov. Subject: "Numerical simulation of pressure driving flow of viscose incompressible fluid flow".

10/1974 M.Sc. Applied Mathematics, Department of Mathematics and Mechanics, Novosibirsk State University, Novosibirsk, Russia. (Minor in numerical method in continuum mechanics).

การศึกษา (Education)

1975-1978 Graduate study in The Department of Mathematics and Mechanics of Novosibirsk State University (Chair of Numerical Method in Continuum Mechanics (now days: chair of Mathematical Modelling))

1969-1974 Undergraduate study in The Department of Mathematics and Mechanics of Novosibirsk State University. Major in applied mathematics. Minor in numerical method in continuum mechanics.

ตำแหน่งปัจจุบัน (Position)

ตำแหน่งที่ปรึกษา : รองศาสตราจารย์

ตำแหน่งบริหาร : -

09/1980 - 05/1989 Assist. Prof., Specialized Scientific Study Center for Physics, Mathematics Chemistry and Biology Education of Novosibirsk State University Novosibirsk, Russia

01/1989 - 12/1996 Assoc. Prof., Specialized Scientific Study Center for Physics, Mathematics Chemistry and Biology Education of Novosibirsk State University Novosibirsk, Russia

1987 -1996	Assoc. Prof., Chair of Numerical Methods in Continuum Mechanics (from 1994 - Chair of Mathematical Modeling), Novosibirsk State University, Novosibirsk, Russia
1993-1996	Vice-Dean. Department of Mathematics and Mechanics of Novosibirsk State University, Novosibirsk, Russia
01/1996 - present:	Assoc. Prof.. School of Mathematics, Institute of Science, Suranaree University of Technology, Nakhon Ratchasima, 30000, Thailand

ประวัติการลักษณะการทำงาน (Employment)

1974 – 1975	Research Fellow, Department of Mathematics and Mechanics, Novosibirsk State University, Russia, Chair of Numerical Methods in Continuum Mechanics (From 1994 - Chair of Mathematical Modeling)
09/1978 - 05/1991	Senior researcher, Assistant researcher. Institute of Theoretical and Applied Mechanics, Russian Academy of Sciences, Siberian Division, Novosibirsk, Russia.
01/1991 - 12/1996	Senior researcher. Institute of Computational Technologies, Russian Academy of Sciences, Siberian Division, Novosibirsk, Russia .
01/1996 – present	Associate Professor. School of Mathematics, Institute of Science, Suranaree University of Technology, Nakhon Ratchasima, 30000, Thailand.

ผลงานวิชาการ / ผลงานวิจัย (Publications)

Refereed Journal Publications and Refereed Conference Papers (selected)

1. [J33] Moshkin N.P., Chernykh G.G., Voropaeva O.F., Internal Waves Generated by Turbulent Wakes Behind Towed and Self-Propelled Bodies in Linearly Stratified Medium, . Mathematical Modeling, **12**, No 10 (2000), 77-94. (in Russian)

2. [J34] Moshkin N.P., Mounnunprang P., An Numerical Algorithm for the Steady Euler Equations for Flowing-Through Problem, The Forth Annual National Symposium on Computational Science and Engineering (ANSCSE 2000), Mrch 27-29, 2000, Karsetsart University , Bangkok, Thailand, pp.56-64.
3. [J35] Moshkin N.P., Mounnunprang p., A Numerical Method for Solving the Incompressible Euler Equations for Flowing-Through Problem. First National Symposium on GRAD-RESEARCH, Chiang Mai University, June 10-11, 2000, pp. 260-266.
4. [J36] Moshkin N.P., Mounnunprang P., Numerical Simulation of Ideal Incompressible Fluid Flows Through Bounded Domain when Tangent Components of Vorticity are Given on the Inflow Parts of the Domain Boundary. The Fifth Annual National Symposium on Computational Science and Engineering (ANSCSE 2001), June 19-20, 2001, National Electronics and Computer Technology Center, Bangkok Convential Center (BCC), Central Plaza, Thailand, pp.141-149.
5. [J37] Moshkin N.P., NUMERICAL STUDY OF NATURAL CONVECTION IN A RECTANGULAR ENCLOSURE FILLED WITH TWO IMMISCIBLE FLUIDS. Procedding of a Symposium Organized by International Center for Heat and Mass Transfer, CHT'01: Advance in computational heat transfer II, Edotors, Graham de Vahl Davis and Eddie Leonardi., May 2001, Palm Cove, Queensland, Australiya, Begell House Inc., New York, Wallingford, 2001, pp.859-866 (ISBN: 1-56700-158-0).
6. [J38] Moshkin N.P., Chernykh G.G., Voropayeva O.F., Numerical Modeling of Internal Waves Generated by Turbulent Wakes Behind Self-propelled and Towed Bodies in Startified Media. In: N. Satofuka (Ed.): Computational Fluid Dynamics 2000, Proceedings of the First International Conference on Computational Fluid Dynamics, ICCFD, Kyoto, Japan,10-14 July 2000; ISBN 3540414592), Springer Verlag, Berlin (2001) 455-461.
7. [J39] Moshkin N.P., Numerical model to study natural convection in a rectangular enclosure filled with two immiscible fluids. International journal of heat and Fluid flow, **23**, No 3 (2002), 373-379.
8. [J40] Moshkin N.P., Numerical study of thermal convection in two immiscible fluid layers. Proceedings of BAILL 2002. An International Conference on Boundary and Interior Layers, Computational & Asymptotic Methods, The University of Western Australia, Perth, WA, 8th - 12th July, 2002, p.p. 189-194.
9. [J41] Moshkin N.P., Mounnamprang P., Numerical simulation of vertical ideal fluid flow through curved channel. **41**, 2003, pp. 1173-1189. International Journal for Numrical Methods in Fluids (Int. J. Numer. Meth. Fluids) , **41**, No (2003), 1173-1189.

10. [J42] Chernykh G.G., Moshkin N.P., and Voropayeva O.F., Numerical Modeling of Internal Waves Generated by Turbulent Wakes Behind Self-propelled and Towed Bodies in Stratified Media, Proceedings of International conference - Fluxes and Structures in Fluids , IPM RAS , Moscow , June 20-22, 2001.
11. [J43] Moshkin N.P., Mounradok N.P., A Fourth-Order Compact Finite Difference Scheme for the Flowing Through Problem of an Ideal Incompressible Fluid, The 7th Annual National Symposium on Computational Science and Engineering (ANSCSE 7 2003), March 24-26, 2003, Faculty of Science, Chulalongkorn University, Bangkok, Thailand, 6 p.
12. [J44] Chernykh G. G., Moshkin N. P. , and Fomina A.V., Dynamics of Turbulent Wakes Behind Self-propelled and Towed Bodies in Stratified Media. ,The 7th Annual National Symposium on Computational Science and Engineering (ANSCSE 7 2003), March 24-26, 2003, Faculty of Science, Chulalongkorn University, Bangkok, Thailand, 6 p.
13. [J45] Voropayeva O.F., Zudin A.N., Moshkin N.P., Chernykh G.G. , Internal waves, generated by turbulent wakes in stably stratified medium. Computational Technologies, **8**, No (2003), 36-48. (in Russian)
14. [J46] O. F. Voropayeva, N. P. Moshkin, and G. G. Chernykh , Internal Waves Generated by Turbulent Wakes in a Stably Stratified Medium , Vol. 48, No. 9, 2003, pp. 517-521. Translated from Doklady Akademii Nauk, Vol. 392, No. 2, 2003, pp. 190–194. Original Russian Text Copyright © 2003 by Voropayeva, Moshkin, Chernykh Doklady Physics **48**, No 9 (2003), 517-521. (Translated from Doklady Akademii Nauk, Vol. 392, No. 2, 2003, pp. 190-194.)
15. [J47] G. CHERNYKH, N.P. Moshkin , O. F. VOROPAYEVA, Internal waves generated by turbulent wakes behind towed and self-propelled bodies in a stably stratified medium, Vol. 19, No. 1, pp. 1–16 (2004) Russ. J. Numer. Anal. Math. Modelling, **19** No 1,(2004). 1-16 .
16. [J48] N. P. Moshkin, A. V. Fomina, G. G. Chernykh, On the numerical modeling of dynamics of turbulent wake behind towed body in linearly stratified media, 4, No 3/4 (2004), 3–31. Vestnik, Quart. J. of Novosibirsk State Univ., Series: math., mech. and informatics, **4** No 3/4 (2004), 3-31.
17. [J49] N.P. Moshkin, Peiangpob Mounnamprang, Streamfunction-vorticity numerical method for flowing through problem of ideal incompressible fluid within 2D domain, Proceedings of the 8-th Annual National Symposium on Computational Science and Engineering, (ANSCSE- 8), 21-23 July 2004, Thailand, Suranaree University of Technology. pp. 450-453.
18. [J50] Srisertpol J., Rodpai A., N.P. Moshkin, Numerical algorithm for transfer function synthesize using experimental frequency response data, Proceedings of the 8-th Annual National Symposium on Computational

Science and Engineering, (ANSCSE- 8), 21-23 July 2004, Thailand, Suranaree University of Technology. pp. 269-272.

19. [J51] N.P. Moshkin, A.V. Fomina, G.G. Chernykh, DYNAMICS OF PASSIVE SCALAR IN TURBULENT WAKES IN DENSITY STRATIFIED FLUIDS, Proceedings of the 8-th Annual National Symposium on Computational Science and Engineering, (ANSCSE- 8), 21-23 July 2004, Thailand, Suranaree University of Technology, pp. 307-310.
20. [J52] N.P. Moshkin, G.G. Chernykh, A.V. Fomina, anisotropy Decay of Turbulence in the Wake behind Towed Body in a Linearly Stratified Media, Proceedings of the 9-th Annual National Symposium on Computational Science and Engineering, (ANSCSE- 9), March 23-25, 2005, Faculty of Science, Mahidol University, Rama6 Road, Bangkok, Thailand, pp. 269-279.
21. [J53] Moshkin N.P., Chernykh G.G., Fomina A.V. Dynamics of drag turbulent wake in a linearly stratified media Progress in Computational Heat and Mass Transfer (Proceedings of 4-th ICCHMT, May 17-20, 2005, Paris-Cachan, France; Eds. R. Bennacer, A.A.Mohamad,M. Ganaoui, J.Sicard. LAVOISIER, 2005.-V.1.-P. 535-540.
22. [J54] N.P.Moshkin, A.V. Fomina, G.G.Chernykh, ON THE INFLUENCE OF SMALL TOTAL MOMENTUM IMBALANCE ON TURBULENT WAKE DYNAMICS IN THE LINEARLY STRATIFIED MEDIUM, Mathematical Modeling, **17**, No. 1, (2005). 19-33.
23. [J55] G. G. Chernykh, A. V. Fomina, N. P. Moshkin. Passive scalar dynamics in turbulent wakes of bodies moving in a linearly stratified medium Russ. J. Numer. Anal. Math Modelling <i>, 2005. – Vol. 20. -- No.5 – P. 402-424.
24. [J56] N.P.Moshkin, A. V. Fomina,G. G. Chernykh. Numerical Modelling of Dynamics of Turbulent Wake behind Towed Body in the Linearly Stratified Medium, Mathematical Modeling , **21**, No. 21, pp. 50-77
25. [J57] Chernykh G.G., Fomina A.V., Moshkin N.P., Numerical models of drag wake dynamics in linearly stratified fluid. RZNAMM, 2006. **V.21**, No. 5. P. 411-426.
26. [J58] Chernykh G.G., Demenkov A.G., Ilyushin B.B., Kostomakha V.A., Moshkin N.P., Voropayeva O.F., Numerical modeling of free turbulent flows. FLUXES AND STRUCTURES IN FLUIDS-2005. Selected papers. Eds. Yu.D. Chashechkin, V.G. Baydulov. Inst. for Problems in Mech. RAS, Moscow, 2006. P. 100-108.
27. [J59] Chernykh G.G., Demenkov A.G., Ilyushin B.B., Kostomakha V.A., Moshkin N.P., Voropayeva O.F., Numerical modeling of turbulent wakes. THIRD International Summer Scientific Workshop «HIGH SPEED HYDRODYNAMICS AND NUMERICAL SIMULATION». PROCEEDINGS. June 22-28, 2006, Kemerovo, Russia, P.497-504.

28. [J60] Surattana Sungkul, Moshkin N.P., Numerical simulationof steady viscous flow past two rotating circular cylinders. Suranaree Journal of science and technology, 2006, Vol. 13, No.3, pp. 219-233.
29. [J61] Damrongsak Y. and Moshkin N.P., Finite Volume Method for Incompressible Flowingthrough Problem Driven by a Pressure Drop, Proceedings, ANSCSE10, 10th Annual National Symposium on Computational Science and Engineering, March 22-24, 2006, Faculty of Science, Chiang Mai University, Chiang Mai, Thailand, pp. 473-478.
30. [J62] Moshkin N.P., Surattana Sungnul, Numerical Simulation of Flow Past Two Rotating Circular Cylinders, Proceedings, ANSCSE10, 10th Annual National Symposium on Computational Science and Engineering, March 22-24, 2006, Faculty of Science, Chiang Mai University, Chiang Mai, Thailand, pp. 479-484.
31. [J63] N.P.Moshkin, A. V. Fomina,G. G. Chernykh. Numerical modeling of turbulent wakes dynamics behaind towed body in a lineraly stratified media. Boundary value problems and Mathematical modeling. Proceeding of 8-th Anual Russian scientific conference, 1-3 December 2006, Novokuznetsk, pp. 61-68
32. [J64] N.P. Moshkin, A.V. Fomina, G.G. Chernykh, NUMERICAL MODELLING OF DYNAMICS OF TURBULENT WAKE, BEHIND TOWED BODY IN THE LINEARLY STRATIFIED MEDIUM, , Mathematical Modeling, 19, No. 1, (2007). 29-56.
33. [J64] Chernykh, G.G., Moshkin, N.P., Fomina, A.V., Dynamics of turbulent wake with small excess momentum in stratified media, Communications in Nonlinear Science and Numerical Simulation (2008), doi: 10.1016/j.cnsns.2008.01.014

Conference International and National

1. [R1] Chernykh G.G., Moshkin N.P., Voropayeva O.F., Numerical Modelling of Internal Waves, Generated by turbulent wakes behind self-propelled and towed bodies in stratified media. Abstracts, Kyoto, July 9-14, 2000, First Internat. Conf. On CFD, Kyoto Research Park, pp. 153-154.
2. [R2] N. P. Moshkin and P. Mounnunprang , On Numerical Algorithm for the Steady Euler Equayions for a Flowing-Through Problem , The 4th Annual National Symposium on Computational Science and Engineering March 27-29,2000 Kasetsart University, Bangkok, Thailand
3. [R3] Moshkin N.P., NUMERICAL STUDY OF NATURAL CONVECTION IN A RECTANGULAR ENCLOSURE FILLED WITH TWO IMMISCIBLE FLUIDS. CHT'01: Advance in computational heat transfer II, Edotors, Graham de Vahl Davis and Eddie Leonardi., May 2001, Palm Cove, Queensland, Australia.

4. [R4] Chernykh G.G., Moshkin N.P., and Voropayeva O.F., Numerical Modeling of Internal Waves Generated by Turbulent Wakes Behind Self-propelled and Towed Bodies in Stratified Media, Proceedings of International conference - Fluxes and Structures in Fluids , IPM RAS , Moscow , June 20-22, 2001.
5. [R5] Moshkin N.P., G.G. Chernykh and O.F. Voropayeva, Dynamics of turbulent wakes behind self-propelled and towed bodies in stratified media. Second M.I.T. Conference on Computational Fluid and Solid Mechanics , Boston, US, June 17 - 20, 2003.,
6. [R6] Moshkin N.P., Numerical study of thermal convection in two immiscible fluid layers. BAIL 2002. An International Conference on Boundary and Interior Layers, Computational & Asymptotic Methods, The University of Western Australia, Perth, WA, 8th - 12th July, 2002.
7. [R7] Moshkin N.P., Finite difference methods, Progress in Mathematics 8-9 May, 2003, Best Western Fortune Hotel, Bangkok, Thailand.
8. [R8] Yu. Chashechkin, G.G. Chernykh, N.P. Moshkin, O.F. Voropayeva, A.G. Demenkov, B.B. Ilyushin, V.A. Kostomakha, "Mathematical modelling of free turbulent flows", INTERNATIONAL CONFERENCE KOLMOGOROV AND CONTEMPORARY MATHEMATICS , (Moscow, June 16 - 21, 2003), IN COMMEMORATION OF THE CENTENNIAL of Andrei Nikolayevich Kolmogorov (25.IV.1903 - 20.X.1987)
9. [R9] G.G. Chernykh, N.P. Moshkin, and O.F. Voropayeva, Internal Waves, Generated By Turbulent Trace In Stably Stratified Medium, NEW MATHEMATICAL MODELS IN CONTINUUM MECHANICS: CONSTRUCTION AND INVESTIGATION, dedicated to the 85th anniversary of academician L.V. Ovsiannikov, Novosibirsk, May 10-15, 2004.
10. [R10] N.P. Moshkin, G. G. Chernykh and A.V. Fomina, Dynamics of turbulent wake with small excess momentum in stratified media, CHT-04: INTERNATIONAL SYMPOSIUM ON ADVANCES IN COMPUTATIONAL HEAT TRANSFER, On board MS Midnatsol, Norwegian Coastal Voyage 19-24 April, 2004.
11. [R11] N.P. Moshkin, G. G. Chernykh and A.V. Fomina, ON THE INFLUENCE OF SMALL TOTAL MOMENTUM IMBALANCE ON TURBULENT WAKE DYNAMICS IN THE LINEARLY STRATIFIED MEDIUM, 12th INTERNATIONAL CONFERENCE ON METHODS OF AEROPHYSICAL RESEARCH (ICMAR 2004), 28 June - 4 July 2004, Akademgorodok, Novosibirsk, Russia , Dedicated to Academician of Russian Academy of Sciences Prof., Vladimir Struminskii
12. [R12] Yu.D.Chashechkin , G.G. Chernykh,N.P. Moshkin, A.G. Demenkov, B.B. Ilyushin, V.A. Kostomakha, O.F. Voropayeva, Mathematical modeling of free turbulent flows , 12th INTERNATIONAL CONFERENCE

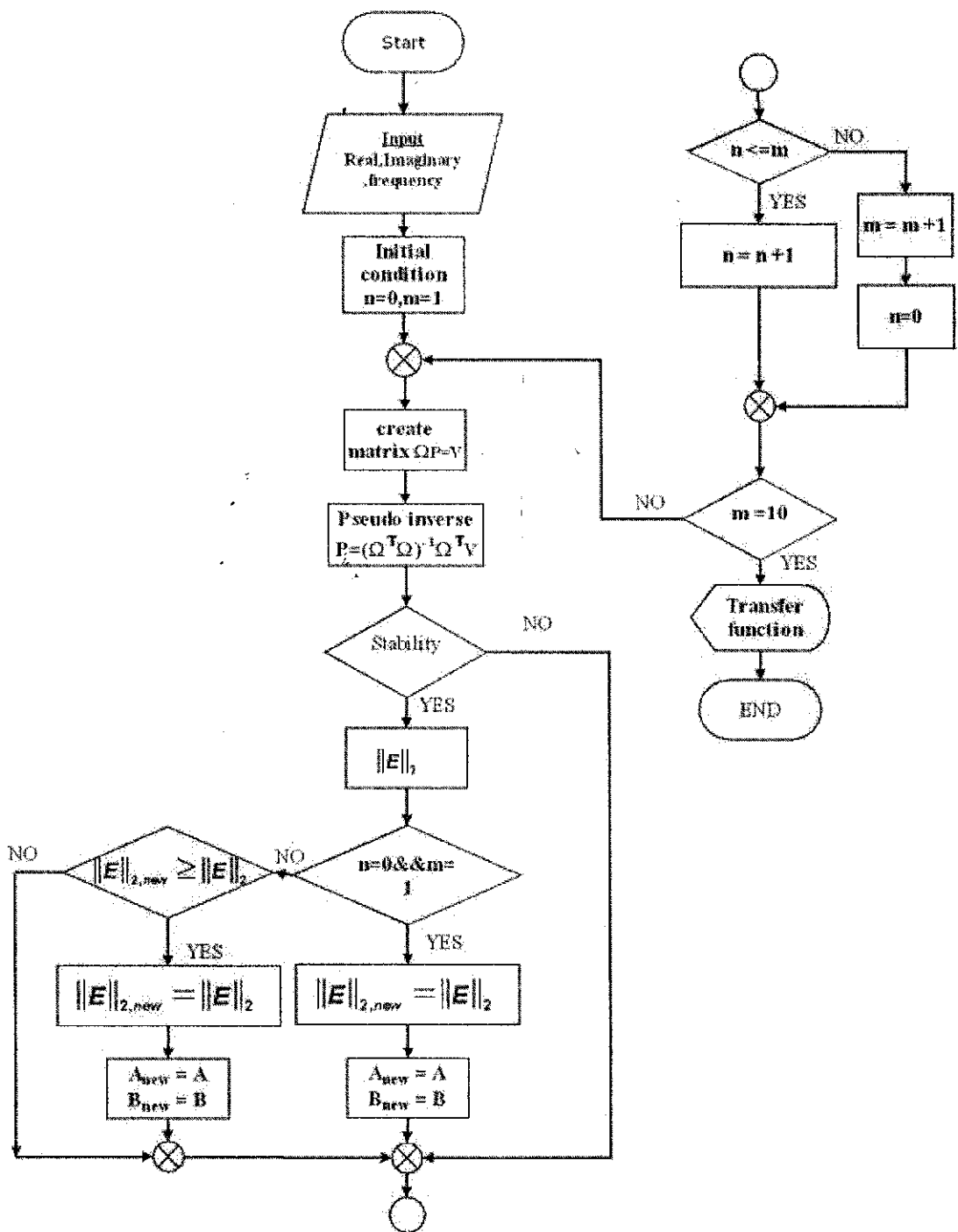
22. [R22] G.G. Chernykh, A.G. Demenkov, B.B.Ilyushin,V.A. Kostomakha, N.P. Moshkin, O.F. Voropayeva. Numerical modelling of free turbulent flows, IX National Russian Congress of Theoretical and Applied Mechanics, Niznii Novgorod, Russia, 22-28 August, 2006.
23. [R23] N.P.Moshkin, A. V. Fomina,G. G. Chernykh. Numerical modeling of turbulent wakes dynamics behaind towed body in a linearaly stratified media. Boundary value problems and Mathematical modeling. Proceeding of 8-th Anual Russian scientific conference, 1-3 December 2006, Novokuznetsk.
24. [R24] G.G.Chernykh, A.V.Fomina, N.P.Moshkin , DYNAMICS OF TURBULENT WAKE WITH SMALL TOTAL EXCESS MOMENTUM IN A LINEARLY STRATIFIED MEDIA, FLUXES AND STRUCTURES IN FLUIDS
St.-Petersburg, Russia, July 02-05, 2007.
25. [R25] N. P. Moshkin, G. G. Chernykh, A. V. Fomina, Application of splitting methods to a hierarchy of RANS models of far turbulent wake behind towed body in linearly stratified media, The Fifth International Conference on Dynamic Systems and Applications, Atlanta, USA, May 30 -June 2, 2007.
26. [R26] G.G. Chernykh, A.V. Fomina, N.P. Moshkin , NUMERICAL MODELING OF DYNAMICS OF TURBULENT WAKE BEHIND TOWED BODY IN THE LINEARLY STRATIFIED MEDIUM, 13th INTERNATIONAL CONFERENCE ON METHODS OF AEROPHYSICAL RESEARCH (ICMAR 2007)
February 5-10, 2007, Akademgorodok, Novosibirsk, Russia.

งานวิจัยที่สนใจ (Research interest)

Computational Fluid Dynamics, Numerical Methods in Fluids, Mathematical and Numerical Modeling,
Computational Mathematics

ทุนการศึกษา / รางวัลที่ได้รับ (Scholarship / fund / Award)

Royal Golden Jubilee Scholarship.



รูปที่ ก1 แผนผังโปรแกรมของวิธีกำลังสองนี้อยู่สุดแบบไม่ต้องน้ำหนัก